

ΓΕΩΛΟΓΙΚΗ ΚΑΙ ΚΟΙΤΑΣΜΑΤΟΛΟΓΙΚΗ ΕΡΕΥΝΑ ΛΙΓΝΙΤΙΚΟΥ ΚΟΙΤΑΣΜΑΤΟΣ ΠΕΔΙΟΥ ΜΑΡΑΘΟΥΣΗΣ (ΜΕΓΑΛΟΠΟΛΕΩΣ) *

ΥΠΟ

Α. ΑΘΑΝΑΣΙΟΥ¹ – Γ. ΚΑΛΛΕΡΓΗ² – Ν. ΚΑΠΕΡΩΝΗ³

Σύνοψις. Κατά τὴν περίοδον 1965 - 66 ἔχετελέσθη εἰς τὴν περιοχὴν Μαραθούσης Μεγαλοπόλεως ἔρευνα, περιλαβοῦσα, σὺν τοῖς ὅλοις, τὴν ἐκτέλεσιν 25 γεωτρήσεων συνολικοῦ μήκους 2713 μ., ἐπὶ τῷ τέλει διαπιστώσεως ἐνδεχομένης συνεχείας τῶν κατὰ τὸ παρελθόν μελετηθέντων λιγνιτικῶν πεδίων «Κυπαρίσσια» καὶ «Χωρέμι».

Ἐκ τῆς ἐν λόγῳ ἔρεύνης διεπιστώθη, διτὶ ἐνταῦθα ἀναπτύσσεται ἐν εἰσέτι λιγνιτικὸν πεδίον, τὸ πεδίον «Μαραθούσης», διπερ συγδέει τὰ πεδία «Κυπαρίσσια» καὶ «Χωρέμι». Τὰ βέβαια ἀποθέματα λιγνίτου τοῦ πεδίου ἀνέρχονται εἰς 67.10⁶ τόννους. Ἡ ύγρασία, «ώς ἐλήφθη», τοῦ λιγνίτου, κυμαίνεται μεταξὺ 45,6 % καὶ 72,0 %, ἐνῷ δὲ μεγαλύτερος ἀριθμός τῶν ἀναλυθέντων δειγμάτων παρουσιάζει ύγρασίαν «ώς ἐλήφθη» 60,0 %.

Ἡ τέρψα ἐπὶ ξηροῦ τοῦ λιγνίτου κυμαίνεται μεταξὺ 18,4 %, καὶ 60,0 %, τῆς μέσης τιμῆς ἀνερχομένης εἰς 36,7 %. Ὁ ἐν λόγῳ λιγνίτης ἐσχηματίσθη ἐντὸς τέλματος, τὸ δόποιον συχνὰ ἀπεξηραίνετο ἢ μετετρέπετο εἰς λίμνην. Δοθέντος διτὶ αἱ συνθῆκαι ἀβαθοῦς ἔλους διήρκεσαν τρεῖς φοράς ἐπὶ μακρὰν σχετικῶς περιόδον, ἐσχηματίσθησαν εἰς τὴν περιοχὴν τρεῖς λιγνιτικοὶ ὁρίζοντες, συνολικῶς μέσου πάχους 19.17 μ. περίπου.

Abstract. During the period 1965 - 66 a study was carried out at the Marathoussa area (Megalopolis - Peloponnesus) in which there was included the drilling of 28 boreholes of a total depth of 2713 m. The object of this study was to find out the continuation of the two previously studied «Kiparissia» and «Choremi» lignite fields.

From the investigation it was found out that in Marathoussa area there is developed one more lignite field which connects the «Kiparissia» and «Choremi» fields. The measurable lignite reserves amount to 67.10⁶ tons, with the following characteristics: Moisture content, «sample as received», ranges between 45.6 % and 72.0 %, average 60.3 %. Ash content, on a dry basis, ranges between 18.4 % and 60.0 %, average 36.7 %. The lignite of Marathoussa field was formed in a marsh which many times became dry and retransformed to a lake. Thrice the conditions of shallow marsh prevailed for a relatively longer period, thus there have been formed three lignite seams in the area of an average total thickness of 19.17 meters approximately.

* A. ATHANASSIOU - G. KALLERGIS - N. KAPERONIS: Geological and deposit investigation of Marathoussa lignite field (Megalopolis).

1. 'Α. Αθανασίου, γεωλόγος Δ.Ε.Η., 2. Γ. Καλλέργης, γεωλόγος Ι.Γ.Ε.Υ.,
3. Ν. Καπερώνης, χημικός Δ.Ε.Η.

1. ΠΡΟΛΟΓΟΣ

Είς τὴν παροῦσαν ἐργασίαν ἔκτιθενται τὰ ἀποτελέσματα τῶν ἐκτελεσθεισῶν κατὰ τὸ 1965 - 1966 ἐρευνητικῶν ἐργασιῶν εἰς τὴν περιοχὴν Μαραθούσης Μεγαλοπόλεως.

Ἡ ἐν λόγῳ ἔρευνα ἔξετελέσθη ὑπὸ τῶν Ι.Γ.Ε.Υ. καὶ Δ.Ε.Η., τὰ ἀποτελέσματα δὲ ταύτης ὑπῆρχαν λίαν ἐνδιαφέροντα, δοθέντος ὅτι σημαντικὰ ἀποθέματα λιγνίτου ἀπεκαλύφθησαν ὑπ' αὐτῆς. Διὰ τοῦ διαπιστωθέντος ἐν λόγῳ λιγνιτικοῦ πεδίου συνεδέθησαν τὰ δύο ἐρευνηθέντα ἥδη λιγνιτικὰ πεδία Κυπαρισσίων καὶ Χωρεμίου.

Ἐνχαριστοῦμεν τὸν Δ)ντὴν τῆς Δ)νσεως Λιγνιτωρυχείων τῆς Δ.Ε.Η. καθηγητὴν κ. Ὡ. Οἰκονομόπουλον, ὃς καὶ τὸν προϊστάμενον τῆς Ὑπηρεσίας Λιγνιτικῶν Ἐρευνῶν κ. Ὄ. Καρνέρην διὰ τὴν παντὶ τρόπῳ συνδρομὴν ἢν μᾶς παρέσχον κατὰ τὴν συγγραφὴν τῆς ἀνὰ χείρας ἐργασίας.

2. ΕΙΣΑΓΩΓΗ

2. 1. Ἰστορικόν.

Ἡ λιγνιτοφορία τῆς λεκάνης Μεγαλοπόλεως ἦτο ἀπὸ τῆς ἀρχαιότητος ἥδη γνωστή, ἐκ τῶν πολυαριθμῶν λιγνιτικῶν ἐμφανίσεων εἰς διάφορα σημεῖα αὐτῆς. Ἡδη δὲ Παυσανίας (2ος αἰών μ. Χ.) παρετήρησεν, ὃς ἀναφέρει εἰς τὰς περιηγήσεις του (βιβλίον VI Κεφ. 29), ὅτι πλησίον μιᾶς πηγῆς παρὰ τὸν Ἀλφειὸν ἀνέθρωσκεν πῦρ. Προφανῶς πρόκειται περὶ τῆς αὐτοαναφλέξεως τοῦ λιγνίτου ἣτις καὶ σήμερον παρατηρεῖται παρὰ τὸ χωρίον Κυπαρίσσια. Οἱ ἴθαγενεῖς τῆς περιοχῆς ἀναφερόμενοι εἰς τὸ αὐτὸν φαινόμενον ὅμιλοῦν περὶ ἡφαιστείου.

Ἡ ἴδιωτικὴ πρωτοβουλία εἶχεν ἥδη ἐκδηλωθῆ πρὸ τοῦ πρώτου παγκοσμίου πολέμου, ὅδηγήσασα κατὰ καιροὺς εἰς περιωρισμένης κλίμακος ἐκμεταλλεύσεις, κυρίως εἰς θέσεις παρὰ τὸν Ἀλφειὸν ποταμόν, ἔνθα αἱ συνθῆκαι ἔξιορύζεως ἥσαν περισσότερον εὐνοῖκαι.

Παρὰ ταῦτα ἡ σημασία τοῦ λιγνιτικοῦ κοιτάσματος Μεγαλοπόλεως εἶχεν ὑποτιμηθῆ μέχρι τοῦ ἔτους 1957. Οἱ μέχρι τοῦ ἔτους ἐκείνου ἀσχοληθέντες μὲ τὴν λεκάνην Μεγαλοπόλεως ἐρευνηταί, ἀνεβίβαζον τὰ ἀποθέματα εἰς 2 - 3 ἑκατομμύρια τόννους κατ' ἄνωταν ὅριον.

Τὸ γεγονός τοῦτο, ἐν συνδυασμῷ μὲ τὴν χαμηλὴν πράγματι ποιότητα τοῦ λιγνίτου, ὅχι μόνον ἀπεθάρρυνε τὴν ἀνάληψιν ἐκμεταλλεύσεως μεγάλης κλίμακος, ἀλλὰ καὶ ἀνέστελλεν πᾶσαν σκέψιν συστηματικῆς μελέτης τοῦ κοιτάσματος.

Νέοι δρίζοντες διηγοίχθησαν πρὸς τὴν κατεύθυνσιν αὐτὴν κατὰ τὸ ἔτος 1957, ὅτε συνεργεῖον τοῦ Ι.Γ.Ε.Υ. ἐκ τῶν Γ. ΜΑΡΙΝΟΥ, Ι. ΑΝΑΣΤΟΠΟΥΛΟΥ καὶ Ν. ΜΕΛΙΔΩΝΗ ἔξετέλεσε γεωλογικὴν ἐπισκόπησιν τῆς περιοχῆς, ἣτις ὠδήγησεν εἰς ἄκρως ἐνθαρρυντικὰ ἀποτελέσματα ὅσον ἀφορᾶ εἰς τὴν λιγνιτοφορίαν τῆς περιοχῆς.

· Η Δ.Ε.Η., ένδιαιφερομένη ζωηρῶς διὰ τὴν ἀνεύρεσιν καὶ ἀξιοποίησιν στερεῶν ὁρυκτῶν καυσίμων πρὸς παραγωγὴν ἡλεκτρικῆς ἐνεργείας, λαβοῦσα γνῶσιν τῶν ὡς ἄνω ἐνδιαιφερόντων πορισμάτων τῆς ἐν λόγῳ ἐπισκοπήσεως, ἔχοηματοδότησε τὰς περαιτέρω ἐρευνητικὰς ἐργασίας, διαθέσασα καὶ τὰ ἀπαραίτητα τεχνικὰ μέσα.

Οὕτω, ἀπὸ τοῦ Μαΐου 1958 ἕως τὸν Φεβρουάριον 1959, ἐξετελέσθησαν 38 γεωτρήσεις, ἔξι ὀν αἱ 5 ἀναγνωριστικαὶ τῆς ὅλης λεκάνης καὶ διηνοίχθησαν 2 ἐρευνητικὰ φρέατα. Ἐκ τῶν ἐρευνητικῶν τούτων ἐργασιῶν διεπιστώθησαν βέβαια ἀποθέματα λιγνίτου 236.000.000 τόννοι εἰπὶ ἑκτάσεως 3,6 km². Ἡ περιοχὴ αὗτη, γνωστὴ ἥδη ὡς πεδίον «Χωρέμι», ἐντὸς τῆς δρόμου περιωρίσθησαν αἱ ἐρευναὶ, ἀπετέλει ἐν μέρος μόνον τῆς λιγνιτοφόρου λεκάνης Μεγαλοπόλεως.

Τὰ ἐντυπωσιακὰ ταῦτα ἀποτελέσματα ἔδωσαν νέαν ὥθησιν εἰς τὴν ὅλην ἐξέλιξιν τοῦ ἔργου Μεγαλοπόλεως.

Κατὰ τὸ ἔτος 1960 ἐξετελέσθη ὑπὸ τοῦ Γραφείου Μελετῶν Dr. O. GOLD νέα κοιτασματολογικὴ ἐρευνα, ἐντὸς τῶν πλαισίων τῆς δρόμου εἰς ἐγένοντο 96 ἐρευνητικὰ γεωτρήσεις. Τὰ διαπιστωθέντα βέβαια ἀποθέματα λιγνίτου εἰς τὸ πεδίον «Χωρέμι» ἀνήλιθον εἰς 228.000.000 τόννους περίπου, ἐπαληθευθέντων πλήρως τῶν ἀποτελεσμάτων τῶν ἐρευνῶν I.G.E.Y. - Δ.Ε.Η. τῆς περιόδου 1958 - 59 (Γ. ΜΑΡΙΝΟΣ, I. ΑΝΑΣΤΟΠΟΥΛΟΣ, N. ΠΑΠΑΝΙΚΟΛΑΟΥ, ἐν συνεργασίᾳ μετὰ N. ΜΕΛΙΔΩΝΗ, 1959).

Αἱ γεωτρήσεις ἐπεξετάσθησαν καὶ εἰς ἄλλας περιοχὰς τῆς λεκάνης, κυρίως ΒΒΔ/κῶς τοῦ πεδίου «Χωρέμι», ἔνθα διεπιστώθησαν ἔτεραι δύο συγκεντρώσεις λιγνίτου, ἥτοι τὸ πεδίον «Κυπαρίσσια» (ἀποθέματα 128.000.000 τόν. περίπου) καὶ τὸ πεδίον «Καρύταινα» (ἀποθέματα 8.000.000 τόν. περίπου).

Εἰς τὸ πεδίον «Κυπαρίσσια» ἐξετελέσθησαν ὑπὸ τοῦ Γραφείου O. GOLD κατὰ τὸ 1961 ἔτεραι 11 ἐρευνητικὰ γεωτρήσεις.

Αἱ ἐρευνητικαὶ ἐργασίαι ἐσυνεχίσθησαν ὑπὸ τῶν I.G.E.Y. - Δ.Ε.Η. ἀπὸ τοῦ Αὔγουστου 1961 ἕως τὸν Ἀπρίλιον 1963, ὅτε ἐξετελέσθησαν 287 ἐρευνητικὰ γεωτρήσεις (N. ΜΕΛΙΔΩΝΗΣ, Γ. ΟΡΦΑΝΟΣ, Θ. ΚΟΥΝΗΣ, 1969).

Ἐν τῷ μεταξὺ ἀπὸ τοῦ Ἰουνίου 1962 ἕως τὸν Ἀπρίλιον 1963 ἐπραγματοποιήθη ὑπὸ τοῦ Γραφείου Μελετῶν O. GOLD, ἐν συνεργασίᾳ μετὰ τοῦ IΓΕΥ, ἥ δριστικὴ γεωλογικὴ καὶ κοιτασματολογικὴ προμελέτη τοῦ πεδίου «Κυπαρίσσια», ἥ ἐκμετάλλευσις τοῦ δρόμου ἐνεφανίζετο, κατὰ τὴν γνώμην τοῦ ἐν λόγῳ γερμανικοῦ γραφείου ὡς εὐνοϊκωτέρα τῆς τῶν ἄλλων πεδίων τοῦ λιγνιτικοῦ κοιτάσματος Μεγαλοπόλεως, παρ' ὅτι ἀπήτει εὐθὺς ἔξι ἀρχῆς τὴν ἐκτροπὴν τοῦ Ἀλφειοῦ ποταμοῦ, ἔργου ἔξοχως δαπανηροῦ.

Τὸν Αὔγουστον 1965 προσελήφθη ὑπὸ τῆς Δ.Ε.Η., ὡς Τεχνικὸς Σύμβουλος τοῦ ἔργου Μεγαλοπόλεως, ἥ κοινοπραξία τῶν γερμανικῶν οίκων IPCO - KAH (νῦν DEMAG - KAH).

Ἡ μεταξὺ τῆς Δ.Ε.Η. καὶ τοῦ Τεχνικοῦ Συμβούλου σύμβασις, προέβλεπε τὴν ἐκτέλεσιν προγράμματος ἔξι 25 περίπου ἐρευνητικῶν γεωτρήσεων εἰς τὴν μεταξὺ τῶν πεδίων «Κυπαρίσσια» καὶ «Χωρέμι» λιγνιτοφόρον περιοχήν, ἀποσκοποῦντος

εἰς τὴν διαπίστωσιν ἐνδεχομένης συνεχείας τῶν δύο ὡς ἄνω πεδίων, ὅτε θὰ ἥτο δυνατή ἡ ἀποφυγὴ εἰς πρῶτον τουλάχιστον στάδιον τῆς ἐκτροπῆς τοῦ Ἀλφειοῦ.

Εἰς ἐφαρμογὴν τοῦ ἀνωτέρω προγράμματος, ἔξετελέσθησαν 28 γεωτρήσεις πυρηνοληψίας εἰς τὴν μεταξὺ τῶν πεδίων «Κυπαρίσσια» καὶ «Χωρέμι» περιοχήν, ἣτις ἐφ' ἔξης θέλει ἀποκαλεῖται πεδίον «Μαραθούνσα». Ἡ ὅλη ἔρευνα ἔξετελέσθη ἐν συνεργασίᾳ ὑπὸ τῶν I.G.E.Y. - Δ.Ε.Η., τῇ εὐθύνῃ τῶν συγγραφέων.

Ἄκολούθως ἡ Δ.Ε.Η. προέβη εἰς τὴν διακήρυξιν διαγωνισμοῦ μεταξὺ γεωμανικῶν οἰκων, ὁ δὲ ἀνακηρυχθεὶς ἀνάδοχος τοῦ Ἐργού οἶκος A.E.G., ἔθεσε τὸ θέμα τῆς ἐκμεταλλεύσεως ἐπὶ ἐντελῶς νέας βάσεως, χαρακτηριζομένης κυρίως ἐκ τῆς ἀποφυγῆς τῆς ἐκτροπῆς τοῦ Ἀλφειοῦ ποταμοῦ διὰ τὰ πρῶτα 40 ἔτη ζωῆς τοῦ Ἐργού.

Τὴν 9 - 4 - 1968 ἐγένοντο τὰ ἔγκαινια τοῦ Ἐργού Μεγαλοπόλεως.

Οὕτω τὸ ἔργον Μεγαλοπόλεως, μετὰ μίαν ἀκριβῶς δεκαετίαν ἀπὸ τῆς ἀναλήψεως τῶν πρώτων συστηματικῶν ἔρευνῶν ὑπὸ τῶν I.G.E.Y. - Δ.Ε.Η. ἥχθη εἰς τὸ στάδιον τῆς πραγματοποίησεως.

Τόσον κατὰ τὸ πρῶτον στάδιον τῶν ἔρευνῶν (1958 - 59 I.G.E.Y. - Δ.Ε.Η.) δύσον καὶ κατὰ τὸ δεύτερον τοιοῦτον (1960 - 63 GOLD - Δ.Ε.Η. - I.G.E.Y.), ἡ περιοχὴ Μαραθούνσης δὲν ἀπετέλεσεν ἀντικείμενον συστηματικῆς γεωτρητικῆς ἔρευνης. Σποραδικαὶ μόνον γεωτρήσεις (12/58, 25/58, 75/60) ἔξετελέσθησαν εἰς τὸ πεδίον Μαραθούνσης. Οὕτω παρέμενε ἀνοικτὸν τὸ πρόβλημα τῆς συνεχείας τῶν δύο λιγνιτικῶν κοιτασμάτων Χωρεμίου καὶ Κυπαρισσίων εἰς τὸν ἐν λόγῳ χῶρον.

2. 2. Ἡ λιγνιτοφόρος λεκάνη Μεγαλοπόλεως.

Ἡ λιγνιτοφόρος λεκάνη Μεγαλοπόλεως, παρὰ τὸ κέντρον τῆς Πελοποννήσου ἀποτελεῖ μίαν τεκτονικὴν τάφρου, ἣτις διαμορφοῦται μεταξὺ τῶν δρεινῶν ὅγκων τοῦ Μαινάλου, τοῦ Λυκαίου καὶ τοῦ Ταΰγετου.

Ο μέγιστος ἀξων ταύτης, μήκους περίπου 20 χλμ., ἔχει διεύθυνσιν ΒΒΔ - ΝΝΑ, ἡ δὲ ἔκτασις τῆς λεκάνης ἀνέρχεται περίπου εἰς 250 τετρ. χλμ., ἀποστραγγίζεται δὲ ὑπὸ τοῦ Ἀλφειοῦ ποταμοῦ καὶ τῶν παραποτάμων αὐτοῦ.

Ἡ μορφολογικὴ εἰκὼν τῆς λεκάνης σκιαγραφεῖται ἀπὸ λοφοειδεῖς ἔξαρσεις, συνήθως ἐπιμήκεις, αἵτινες διελαύνονται ὑπὸ σχετικῶν ἵσχυρῶν χαραδρώσεων.

Τὰ κράσπεδα τῆς λεκάνης, ὑπερυψωμένα ἐν σχέσει πρὸς ταύτην — ὑψομετρικὴ διαφορὰ μεγαλυτέρα τῶν 400 μέτρων — ἀποτελοῦνται ἀπὸ κρυσταλλικὰ πετρώματα (μάρμαρα - σχιστόλιθοι - φυλλῖται) τῆς κρυσταλλοσχιστώδους μάζης τῆς Κεντρικῆς Πελοποννήσου (ΒΑ/κὰ κράσπεδα) ἢ ἀπὸ ἴζηματα τῶν ὀψικῶν μονάδων Τριπόλεως καὶ Ὁλονοῦ - Πίνδου, τῶν τελευταίων εύρισκομένων συχνὰ ἐν τεκτονικῇ ἐπαφῇ — ἐπωθημένα — ἐπὶ τῶν πρώτων.

Λεπτομερεῖς γεωλογικαὶ καὶ γεωμορφολογικαὶ περιγραφαὶ τῆς περιοχῆς ἔδοθησαν ὑπὸ τῶν PHILIPPSON (1892 καὶ 1959), MAUL (1921), RENZ (1955),

ΜΑΡΙΝΟΥ - ΑΝΑΣΤΟΠΟΥΛΟΥ - ΠΑΠΑΝΙΚΟΛΑΟΥ (1959), LUTTIG - ΜΑΡΙΝΟΥ (1962), GOLD (1960, 1962 και 1963) και VINKEN (1965).

Εις τὴν παροῦσαν ἀκροθιγῶς μόνον θὰ ἀναφερθῶμεν εἰς τὴν γεωλογικὴν δομὴν καὶ τὴν παλαιογεωγραφικὴν ἔξελιξιν τῆς λεκάνης Μεγαλοπόλεως, ἀποτελουστης τὸ εὐδὺ πλαισίον ἐντὸς τοῦ δποίου τοποθετεῖται ἡ ἐδευνηθεῖσα περιοχή, περὶ τῆς δποίας θὰ ἀναφερθῶμεν λεπτομερέστερον.

Ἡ τεκτονικὴ τάφρος Μεγαλοπόλεως ἐδημιουργήθη κατὰ τὴν τελευταίαν φάσιν τῆς πτυχώσεως μεταξὺ Ὀλυμπού καὶ Ἀνωτ. Πλειοκαίνου. Τῆς φάσεως ταύτης τὴν ἐπίδρασιν ἔχουν ὑποστῇ τὰ ὀλιγοκαυνικὰ ἵζηματα, ὅχι δμως καὶ τὰ ἄνω πλειοκαυνικῆς ἡλικίας τοιαῦτα. Εἰς τὰ κράσπεδα τῆς λεκάνης δύναται τις νὰ διαχρίνῃ διαρρήξεις διευθύνσεως ΒΒΔ - ΝΝΑ ἢ ΒΑ - ΝΔ.

Μετὰ τὴν παροξυσμικὴν φάσιν τῆς Ἀλπικῆς πτυχώσεως, ὅτε ἔλαβον χώραν αἱ ἐπωθήσεις τῶν ἵζημάτων Ὡλονοῦ - Πίνδου ἐπὶ ἐκείνων τῆς ζώνης Τριπόλεως καὶ ἡ δημιουργία τοῦ Ἀρκαδικοῦ καλύμματος, ἥρχισεν ἡ ἐκτόνωσις τῶν ἐλαστικῶν τάσεων, ἡ δὲ ἐνωρίτερον ἀρξαμένη ἀνύψωσις τῶν Πελοποννησιακῶν ὁρέων, ἡτις συνεχίζεται καὶ μέχρι σήμερον, ἔγινεν ἐντονωτέρα. Ἡ συνεπείᾳ τῶν ἀνωτέρω γεγονότων ἀναπτυχθεῖσα τεκτονικὴ τῶν διαρρήξεων ἥρχισε νὰ διαμορφώνῃ ἐσωτερικὰς λεκάνας - τεκτονικὰς τάφρους.

Μία τοιαύτη τεκτονικὴ τάφρος εἶναι καὶ ἡ λεκάνη Μεγαλοπόλεως. Αὕτη συνίσταται ἐκ διαφόρων τεμαχῶν, ἥρχισε δὲ κατὰ τὸ ἀνωτ. Πλειόκαινον νὰ πληροῦνται ὑπὸ λιμναίων ἀρχικῶν ἀποθέσεων, ἀκολούθως δὲ ὑπὸ λιμναίων, ποταμίων καὶ χερσαίων τοιούτων κατ' ἐναλλαγάς. Αὕται συνίστανται ὑπὸ μαργῶν, ἀργύλων, ἀμμῶν ἢ συνάγματος καὶ πηλῶν, δταν δὲ αἱ συνθῆκαι ἥσαν εὔνοϊκαί, κατὰ τὸ κατώτερον Πλειστόκαινον ἐδημιουργήθησαν αἱ λιγνιτικαὶ ἀποθέσεις.

Ἡ τεκτονικὴ τάφρος εὑρίσκετο εἰς συνεχῆ συνίζησιν, ἡτις συνεχίζεται καὶ σήμερον, ἐνῷ τὰ κράσπεδα ταύτης εἰς συνεχῆ ἀνύψωσιν. Αἱ ἑστίαι τῶν προσφάτως ἀκόμη ἐκδηλωθεισῶν σεισμικῶν δονήσεων, αἵτινες ἐδράζονται ἐπὶ ρηγμάτων τῶν κρασπέδων τῆς λεκάνης, εἶναι μάρτυρες τῆς συνεχίζομένης εἰσέτι διαφορικῆς ταύτης κινήσεως τῆς λεκάνης, ὡς πρὸς τὰ δρεινὰ κράσπεδα ταύτης.

“Οσον ἀφορᾶ εἰς τὴν στρωματογραφίαν τῶν πλειοπλειστοκαινικῶν ἀποθέσεων, αὕτη ἔχει ὡς κάτωθι (διὰ λεπτομερείας ἵδε VINKEN 1965) :

Τὸ Πλειοπλειστοκαινονήσιον διαρρήξης τοῦ Λούττιγ καὶ Βίνκεν αἱ κάτωθι βαθμίδες ἐκ τῶν παλαιοτέρων πρὸς τὰς τεκτονικὰς :

(α) Βαθμὶς Μακρισίου, ἀποτελουμένη ἐκ λιμναίων μαργῶν πάχους 40 - 50 μ. περιλαμβάνοντα καὶ λιγνίτας πάχους μερικῶν δεκάδων ἐκατοστῶν τοῦ μέτρου. Πρόκειται περὶ ἀποθέσεων θερμοῦ κλίματος.

(β) Βαθμὶς Τριλόφου, ἀποτελουμένη ἐκ ποταμίων ἀποθέσεων ἀργύλων μαργῶν καὶ χαλίκων, σχετικῶς περιωρισμένης ἔξαπλώσεως πάχους 30 - 40 μ. Τὸ κλίμα ἦδη ἔχει καταστῆ ψυχρότερον.

"Οσον ἀφορᾶ εἰς τὸ Πλειστοκαίνον, τοῦτο εἶναι ἔξχως ἀνεπτυγμένον, ἀποτελεῖται δὲ ἐκ τῶν κάτωθι βαθμίδων, ἐκ τῶν παλαιοτέρων πρὸς τὰς νεωτέρας :

(α) Βαθμὶς Ἀπιδίτσης, περιλαμβάνουσα ποταμίους ἀποθέσεις ἐκ χαλίκων καὶ συνάγματος, τῆς πρώτης ψυχρᾶς περιόδου τοῦ Πλειστοκαίνου πάχους 60 - 70 μ.

(β) Βαθμὶς Χωρεμίου, περιλαμβάνουσα :

(i) τὰ στρώματα Μαραθούσης, εἰς τὴν βάσιν της, ἐκ ποταμίων (κατώτερα στρώματα) καὶ λιμναίων ἀποθέσεων, ἀργίλων, μαργῶν πηλοῦ καὶ συνάγματος τῆς πρώτης θερινῆς περιόδου τοῦ Πλειστοκαίνου· τὰ στρώματα Μαραθούσης εἶναι καὶ τὰ λιγνιτοφόρα τοιαῦτα τῆς Μεγαλοπόλεως.

(ii) Τὰ στρώματα Μεγαλοπόλεως διὰ τῶν δποίων κλείει πρὸς τὰ ἄνω ἡ βαθμὶς Χωρεμίου περιλαμβάνει ποταμίους ἀποθέσεις τῆς 2ας ψυχρᾶς περιόδου τοῦ Πλειστοκαίνου, ἀποτελουμένας ἀπὸ ἐναλλαγὰς ἀργίλου, λίνος, ἄμμου καὶ χαλίκων.

(γ) Βαθμὶς Ποταμιᾶς ἀντιπροσωπευομένη ὑπὸ τῆς ἀνωτέρας ἀναβαθμίδος, ἥτις παρὰ τὸν Ἐλισσῶνα εὑρίσκεται 6 - 12 μ. ἀνωθεν τῆς κοίτης τοῦ ποταμοῦ.

Μὲ τὴν ἀπόθεσιν τῶν στρωμάτων Μεγαλοπόλεως περατοῦται ἡ περίοδος ἐντόνου συνιζήσεως τῆς λεκάνης. Κατὰ τὴν δευτέραν θερμὴν περιόδον εἰχεν ἦδη διαμορφωθῆ τὸ πεδίον τῆς Μεγαλοπόλεως, ἐλάμβανε δὲ χώραν ἐντονος ἀποσάθρωσις καὶ διάβρωσις. Κατὰ τὴν τρίτην ψυχρὰν περιόδον τοῦ Πλειστοκαίνου ἐδημιουργήθησαν αἱ πρῶται ποτάμιοι ἀναβαθμῖδες.

(δ) Βαθμὶς Θωκνίας, περιλαμβάνουσα τὴν μεσαίαν ἀναβαθμίδα (ποτάμιον), ἥτις, εἰς τὴν συμβολὴν τοῦ Ἐλισσῶνος μετὰ τοῦ Ἀλφειοῦ, εὑρίσκεται 1 - 2 μ. ἀνωθεν τῆς κοίτης τοῦ Ἐλισσῶνος. Ἡ ἀναβαθμὶς αὕτη ἀπετέθη κατὰ τὴν 4ην ψυχρὰν περιόδον τοῦ Πλειστοκαίνου.

Τέλος, τὸ Ἄλλον βιονόν ἀντιπροσωπεύεται ὑπὸ τῆς ἀνωτέρας καὶ κατωτέρας χαμηλῆς ποταμίου ἀναβαθμίδος, αἵτινες παρὰ τὴν Θωκνίαν εὑρίσκονται ἀντιστοίχως 2 - 3 μ. καὶ 1 - 2 μ. ὑπὲρ τὴν σημερινὴν κοίτην τοῦ Ἀλφειοῦ. Τὸ νεωτερὸν Ἀλλούβιον ἀντιπροσωπεύεται ὑπὸ τῶν συγχρόνων ἀποθέσεων ἐκ πηλοῦ καὶ συνάγματος.

"Οσον ἀφορᾶ εἰς τὴν τεκτονικὴν τῶν πλειστοκαίνικῶν ἀποθέσεων τῆς λεκάνης, αὕτη ἀντιπροσωπεύεται ὑπὸ ρηγμάτων βαρύτητος, ἀτινα ἐδημιουργήθησαν κατὰ τὴν διάρκειαν τῆς πληρωσεως τῆς λεκάνης ὑπὸ τῶν λιμναίων καὶ ποταμίων ἀποθέσεων. Τοῦτο διαπιστοῦται ἐκ τοῦ γεγονότος ὅτι τὸ πάχος τῶν λιγνιτικῶν ἀποθέσεων ἐλαττοῦται ταχέως πλησίον τῶν ρηγμάτων λόγῳ διαταραχῆς τῆς ἰσορροπίας μεταξὺ τῆς ταχύτητος συνιζήσεως καὶ ἐκείνης τῆς ἀνόδου τοῦ ὑπογείου ὑδροφόρου δρίζοντος, ἥτις ὡς θὰ ὕδωμεν περαιτέρω ἀποτελεῖ βασικὴν προϋπόθεσιν τῆς λιγνιτογενέσεως. Ἡτοι, τὸ ἐσωτερικὸν τῆς λεκάνης ἀποτελεῖται ἀπὸ τεκτονικὰ τεμάχια λόγῳ ὅμως τῆς διαφόρου μηχανικῆς συμπεριφορᾶς τῶν πετρωμάτων τῶν διαφόρων βαθμίδων ἔναντι τῆς διαβρώσεως — π. χ. αἱ μᾶργαι τῆς βαθμίδος τοῦ Μακρισίου εἶναι πλέον εὐαποσάθρωτοι ἢ οἱ πηλοὶ καὶ χάλικες

τῆς βαθμίδος Χωρεμίου — συμβαίνει συχνά τεκτονικῶς ἀνυψωμένα τεμάχη νὰ εὑρίσκωνται μορφολογικῶς χαμηλότερον. "Οσον ἀφορᾶ εἰς τὴν παλαιογραφικὴν Ιστορίαν τῆς λεκάνης, αὕτη συνοψίζεται ὡς ἀκολούθως :

Μεταξὺ Ὀλιγοκαίνου καὶ Πλειοκαίνου ἐδημιουργήθη ἡ τεκτονικὴ τάφρος **Μεγαλοπόλεως**, εἰς μίαν περίοδον καθ' ἥν αἱ ἔλαστικαι τάσεις ἐκ τῆς παροξυσμικῆς φάσεως τῆς Ἀλπικῆς δρογενέσεως ἔτεινον νὰ ἐκτονωθοῦν, τὰ δὲ Πελοποννησιακὰ ὅρη, ἀτινα ἥδη εἶχον ἀνυψωθῆν, συνέχιζον τὴν ἀνυψωτικήν των κίνησιν λίαν ἐντὸνως. Εἰς τὴν τάφρον ταύτην ἀπείθεντο διαδοχικῶς λιμναῖα ποτάμια καὶ ἀκόμη χερσαῖα ἵζηματα, καθ' ὅλην τὴν διάρκειαν τοῦ Ἀνωτ. Πλειοκαίνου καὶ κατωτέρου Πλειστοκαίνου, ποτάμιοι δὲ καὶ χερσαῖαι ἀποθέσεις κατὰ τὸ ἀνώτερον Πλειστόκαινον καὶ Ὁλόκαινον.

Κατὰ τὴν διάρκειαν τῆς ἀποθέσεως τῶν ἀνωτέρω ἵζημάτων, ἐλάμβανον χώραν διαφορής βαρύτητος, ἡ δὲ λεκάνη εὑρίσκετο εἰς συνεχῆ ἀνύψωσιν. Παρὰ τὸ γεγονός ὅτι κατὰ μεγάλας περιόδους αἱ κλιματικαὶ συνθῆκαι ἡσαν εὐνοϊκαί, τυφογένεσις καὶ κατὰ συνέπειαν λιγνιτογένεσις δὲν ἔλαβε χώραν, εἰ μὴ μόνον εἰς βραχείας περιόδους, καθ' ἃς ἐπετυγχάνετο ίσορροπία μεταξὺ τῆς ταχύτητος συνιζήσεως τῆς λεκάνης καὶ τῆς ταχύτητος ἀνόδου τοῦ ὑπεδαφικοῦ ὑδροφόρου δρίζοντος.

2.3. Τὸ ἔρευνηθὲν λιγνιτικὸν πεδίον.

Ἡ μελετηθεῖσα περιοχὴ καλύπτει ἔκτασιν 3,0 περίποντα τετρ. χλ. περιλαμβάνει δὲ τὸν μεταξὺ Θωκνίας καὶ Γεφυρακίου (Κασίμι Τσιφλίκι) χῶρον (ὅρα Σχ. 1), σχήματος τραπεζίου, τοῦ δποίου ἡ μία διάστασις ἔχει μῆκος 3,0 περίποντα χλμ. ἡ δὲ ἔτερα τοιαύτη 1,2 χλμ. περίπου.

Οἱ μείζων ἀξων τοῦ τραπεζίου τούτου ἔχει διεύθυνσιν ΒΒΔ - ΝΝΑ. Δύναται τις νὰ εἴπῃ ὅτι εὑρίσκεται εἰς τὴν ἀξονικὴν περιοχὴν καὶ εἰς τὸ κέντρον τῆς λεκάνης Μεγαλοπόλεως.

Τὸ κέντρον τῆς μελετηθείσης περιοχῆς, ἀπέχει περὶ τὰ 7,5 χλμ. τῆς Μεγαλοπόλεως τῆς δποίας εὑρίσκεται ΔΒΔ.

Τὸ κοίτασμα Μαραθούσης περιορίζεται ἀπὸ Βορρᾶ ὑπὸ τοῦ κοιτάσματος Θωκνίας, ἀπὸ Νότου ὑπὸ τοῦ κοιτάσματος Χωρεμίου, ἐνῷ ἀπὸ Δυσμῶν περιορίζεται ὑπὸ τοῦ Ἀλφειοῦ ποταμοῦ.

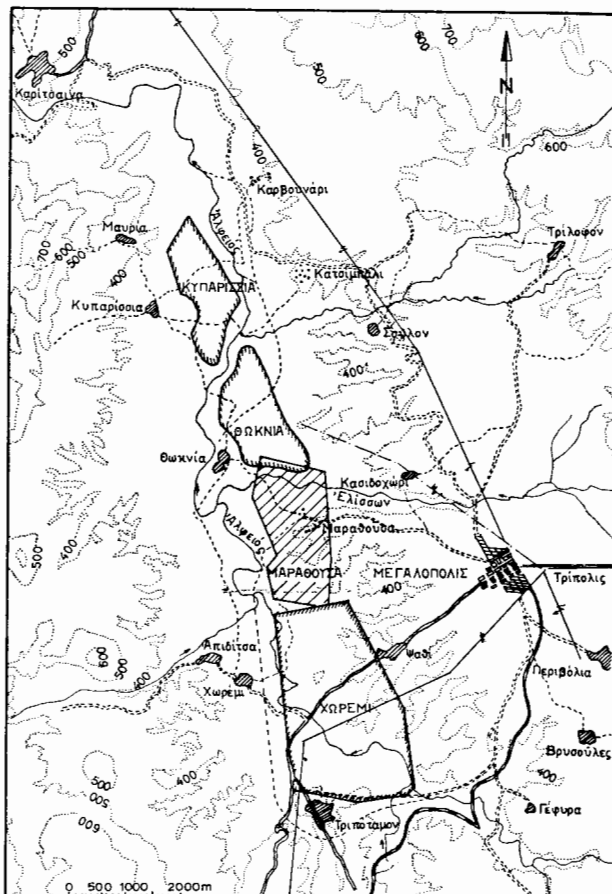
Τὸ βορειότατον τμῆμα τοῦ κοιτάσματος διαρρέεται ὑπὸ τοῦ Ἐλισσῶνος, παραποτάμου τοῦ Ἀλφειοῦ, ὅστις ἐνταῦθα ρέει μὲ κατεύθυνσιν περίπου Α - Δ.

Λόγῳ τοῦ περιωρισμένου εὔρους τῆς κοίτης τοῦ Ἐλισσῶνος, ἐλάχιστον μόνον μέρος τοῦ κοιτάσματος εὑρίσκεται ὑπὸ τὸν ροῦν τοῦ ἐν λόγῳ ποταμοῦ.

Τὸ λιγνιτικὸν πεδίον Μαραθούσης συνίσταται ἐκ τῶν δυτικῶν παρυφῶν ἐνὸς ἀγχιεπιπέδου, τοῦ δποίου τὸ ὑψηλότερον τμῆμα ἀναπτύσσεται ἀνατολικώτερον, ἐνθα εὑρίσκεται τὸ ἀρχαῖον θέατρον Μεγαλοπόλεως.

Τὸ ἐν λόγῳ ἀγχιεπίπεδον ἔχει διεύθυνσιν ἀρχικῶς Α - Δ, ἐντὸς δὲ τῆς ὑφ' ἡμῶν μελετηθείσης περιοχῆς διασπᾶται εἰς δύο βραχίονας, οἵτινες σχηματί-

ζουν ἐν πρὸς Δυσμὰς ἀνοικτὸν πέταλον, τοῦ δποίου τὸ ὑψόμετρον ἐλαττοῦται πρὸς Δυσμὰς ἀμφιθεατρικῶς. Τὸ μέγιστον ὑψόμετρον τοῦ ἐν λόγῳ ἀγχιεπιπέδου, εἰς τὴν περιοχὴν τοῦ κοιτάσματος, εἶναι 420 μ. ὑ., ἐνῷ τὸ μέσον τοιοῦτον 400 μ. ὑ. ὁ.



Σχ. 1. Τὸ λιγνιτικὸν κοίτασμα Μαραθούσης ἐντὸς τῶν πλαισίων τῆς λιγνιτοφόρου λεκάνης Μεγαλοπόλεως.

Τὸ βορειότερον τμῆμα τοῦ κοιτάσματος, τὸ δποίον διαρρέεται ὑπὸ τοῦ Ἐλισσῶνος ἔχει ὑψόμετρον μεταξὺ 380 καὶ 360 μ. ὑ. ὁ.

Αἱ χαραδρώσεις εἶναι πυκναί, ἀναπτύσσονται δὲ δίκην φιπίδιον, ἥτοι εἰς τὸ νότιον τμῆμα τοῦ κοιτάσματος ἔχουν διεύθυνσιν ΝΝΔ - ΒΒΑ ἔως ΝΔ - ΒΑ. Εἰς τὸ κέντρον τοῦ κοιτάσματος αἱ διευθύνσεις τῶν χαραδρώσεων καθίστανται Α - Δ ἐνῷ εἰς τὸ βόρειον τμῆμα ΒΔ - ΝΑ.

2.4. Η έκτελεσθεῖσα γεωτρητική έργασία.

Η έκτελεσθεῖσα γεωτρητική έργασία περιέλαβε τὴν έκτελεσιν εἰκοσιοκτὸν γεωτρήσεων πυρηνοληψίας, ἔλαχίστου βάθους 78 μ., μεγίστου 120 μ. καὶ μέσου βάθους 97 μ. περίπου. Αἱ γεωτρήσεις ἐπερατοῦντο εἰς τὸ γεωλογικὸν δάπεδον τωῦ λιγνιτικοῦ κοιτάσματος (βαθμὶς Ἀπιδίτσης).

Τὰ χρησιμοποιηθέντα γεωτρύπανα ἡσαν ἐν τύπου Sullivan, ἐν Craelius, ἐν Long-year καὶ ἐν GDR. Η γεωτρητικὴ έργασία ἥρχισε τὸν Ὁκτώβριον 1965 καὶ ἐπερατώθη τὸν Ἰανουάριον 1966. Συνολικῶς διετρήθησαν 2713 μέτρα. Η διάμετρος τῶν γεωτρήσεων ἦτο 76 χλστ.

Η πυρηνοληψία ἦτο συνεχῆς, ἡ δὲ ἀπόληψις πυρῆνος ὑπερέβαινε τὸ 80 %. Η συσκευασία τῶν πυρήνων ἐγένετο ἐντὸς πλαστικῶν σακκιδίων οὔτως ὥστε νὰ διατηρῆται ἡ φυσικὴ ὑγρασία αὐτῶν.

Τὴν μακροσκοπικὴν περιγραφὴν τῶν πυρήνων ἥκολούθει ὁ προσδιορισμὸς τῆς ὑγρασίας «ῶς ἐλήφθη», τῆς τέφρας «ῶς ἐλήφθη» καὶ τῆς τέφρας ἐπὶ ἔηρον. Ἐν συνόλῳ ἐξετελέσθησαν 1069 ἀναλύσεις δειγμάτων. Τὰ ἀποτελέσματα τῶν ἐν λόγῳ ἀναλύσεων ἐσημειοῦντο ἐπὶ τῶν γεωλογικῶν τομῶν τῶν γεωτρήσεων. Αἱ τελευταῖαι ἐσχεδιάζοντο ὑπὸ κλίμακα 1 : 200.

3. ΓΕΩΛΟΓΙΚΗ ΔΟΜΗ ΤΟΥ ΛΙΓΝΙΤΙΚΟΥ ΠΕΔΙΟΥ ΜΑΡΑΘΟΥΣΗΣ

Οἱ LÜTTIG - MARINOS (1962) δίδουν τὰς πρώτας λεπτομερεῖς περιγραφὰς τῆς στρωματογραφικῆς διαρρόσεως τῶν διαφόρων σχηματισμῶν τῆς λεκάνης Μεγαλοπόλεως.

Ο R. VINKEN (1965) μετὰ τὴν ὑπὸ τῶν G. LÜTTIG, R. VINKEN καὶ Γ. ΚΑΤΣΙΚΑΤΣΟΥ λεπτομερὴν γεωλογικὴν χαρτογράφησιν τῆς λεκάνης Μεγαλοπόλεως, δίδει λίαν λεπτομερῶς τὴν στρωματογραφίαν τῶν πλειοπλειστοκαινικῶν ἀποθέσεων ταύτης, ὡς καὶ τὰς παλαιοκλιματικὰς συνθήκας τῆς περιοχῆς, ἐπὶ τῇ βάσει τῶν προσδιορισμῶν τῆς χλωρίδος καὶ τῆς πανίδος τοῦ Πλειο - Πλειστοκαίνου, ὑπὸ τῶν G. LÜTTIG, H. HILTERMANN καὶ K. MÄDLER.

Μίαν σύνοψιν τῶν γεωλογικῶν συνθηκῶν τῆς καθόλου λεκάνης Μεγαλοπόλεως τῆς τεκτογενέσεώς της ὡς καὶ τῆς παλαιογραφικῆς της ἐξελίξεως ἐδώσαμεν εἰς τὴν παραγραφὸν 2.1, ἐρανισθέντες στοιχεῖα ἐκ τῆς ὑπαρχούσης βιβλιογραφίας καὶ ἐξ ἵδιων παρατηρήσεών μας, ἵδιως δὲ ἐκ τῆς ἐπεξεργασίας τῶν πυρήνων τῶν γεωτρήσεων.

Απασαι αἱ ἔκτελεσθεῖσαι γεωτρήσεις εἰς τὸ κοίτασμα Μαραθούσης παρέμειναν ἐντὸς τοῦ Πλειστοκαίνου, ἥτοι ἐντὸς ἀργίλων, ἄμμων, πηλῶν καὶ χαλίκων χρώματος καστανοῦ, ἐρυθροῦ ἢ πρασίνου ἐνίστε.

Πρόκειται περὶ τῶν μεταβατικῶν στρωμάτων μεταξὺ τῆς βαθμίδος Ἀπιδίτσης καὶ Χωρεμίου. Δεδομένου ὅτι ἡ βαθμὶς Ἀπιδίτσης ἀποτελεῖ τὸ ὑποκείμενον τῶν λιγνιτοφόρων στρωμάτων, δὲν ἐθεωρήθη σκόπιμον ὅπως αἱ γεωτρήσεις προ-

χωρήσουν ἐντὸς αὐτῆς ἡ ἀκόμη καὶ βαθύτερον ταύτης. Οὕτως, οἱ συναντηθέντες σχηματισμοὶ ἔχουν ὡς κατωτέρω ἐκ τῶν παλαιοτέρων πρὸς τοὺς νεωτέρους :

(α) Β α θ μ ἵ σ Ἀ π ι δ ἵ τ σ η σ : Αὗτη ἀποτελεῖται ἀπὸ ἀργίλον, πηλόν, ἄμμους καὶ χάλικας, συνήθως μεγέθους καρύον σπανιώτερον δὲ καὶ πυγμῆς. Τὸ χαρακτηριστικὸν τῶν ἐν λόγῳ ἀποθέσεων εἶναι ὁ καστανόχροος ἔως ἐρυθρὸς χρωματισμὸς διφειλόμενος εἰς τὰ δέξειδια τοῦ Σιδήρου. Ἐνίστε συνηντῶντο καὶ λειμονιτικὰ συγκρίματα. Σπανιώτερον ὁ χρωματισμὸς ἥτο γκρὶ ἢ πράσινος. Τὸ πράσινον χρῶμα πιθανώτατα διφείλεται εἰς τὴν ἀναγωγὴν τοῦ Σιδήρου συνεπείᾳ τῆς ἀποσίας δέξιγόνου, λόγῳ τῶν ἀναεροβίων συνθηκῶν αἴτινες ἐπεκράτουν εἰς τὸ βάθος εἰς τὸ ὅποιον εὑρέθησαν τὰ στρώματα.

Οἱ χάλικες εἶναι κυρίως ψαμμιτικοί, προερχόμενοι ἐκ τῆς καταστροφῆς τῶν πετρωμάτων τοῦ φλύσχου, κατὰ δεύτερον δὲ λόγον κερατολιθικοί, ἀσβεστολιθικοί ἢ ἀκόμη καὶ ἐκ μαρμαρυγιακῶν σχιστολίθων.

Πρόκειται περὶ ποταμίων ἀποθέσεων, εἰς τὰς ὅποιας ἡ πανὶς ἀντιρροστεύεται ὑπὸ στενοθέρμων διστρακωδῶν ψυχροῦ κλίματος, ὅπερ ὑποδηλοῖ ὅτι ἡ ἀπόθεσις τῶν πετρωμάτων τῆς βαθμίδος Ἀπιδίτσης ἔλαβε χώραν κατὰ τὴν πρώτην ψυχρὰν περίοδον τοῦ Πλειστοκαίνου, δοθέντος ἀλλωστε ὅτι οἱ ὑποκείμενοι σχηματισμοὶ ἀνήκουν εἰς τὸ ἀνώτερον Πλειόκαινον.

(β) Β α θ μ ἵ σ Χ ω ρ ε μ ἵ ο ν : Τὴν βαθμίδα Χωρεμίου οἱ χαρτογραφήσαντες τὴν περιοχὴν G. LUTTIG καὶ R. VINKEN ὑποδιήρεσαν εἰς τὰ στρώματα Μαραθούσης καὶ τὰ στρώματα Μεγαλοπόλεως. Τὰ τελευταῖα δὲν ἀπαντοῦν εἰς τὴν περιοχὴν τοῦ κοιτάσματος Μαραθούσης ἀλλὰ ἀνατολικώτερον ταύτης.

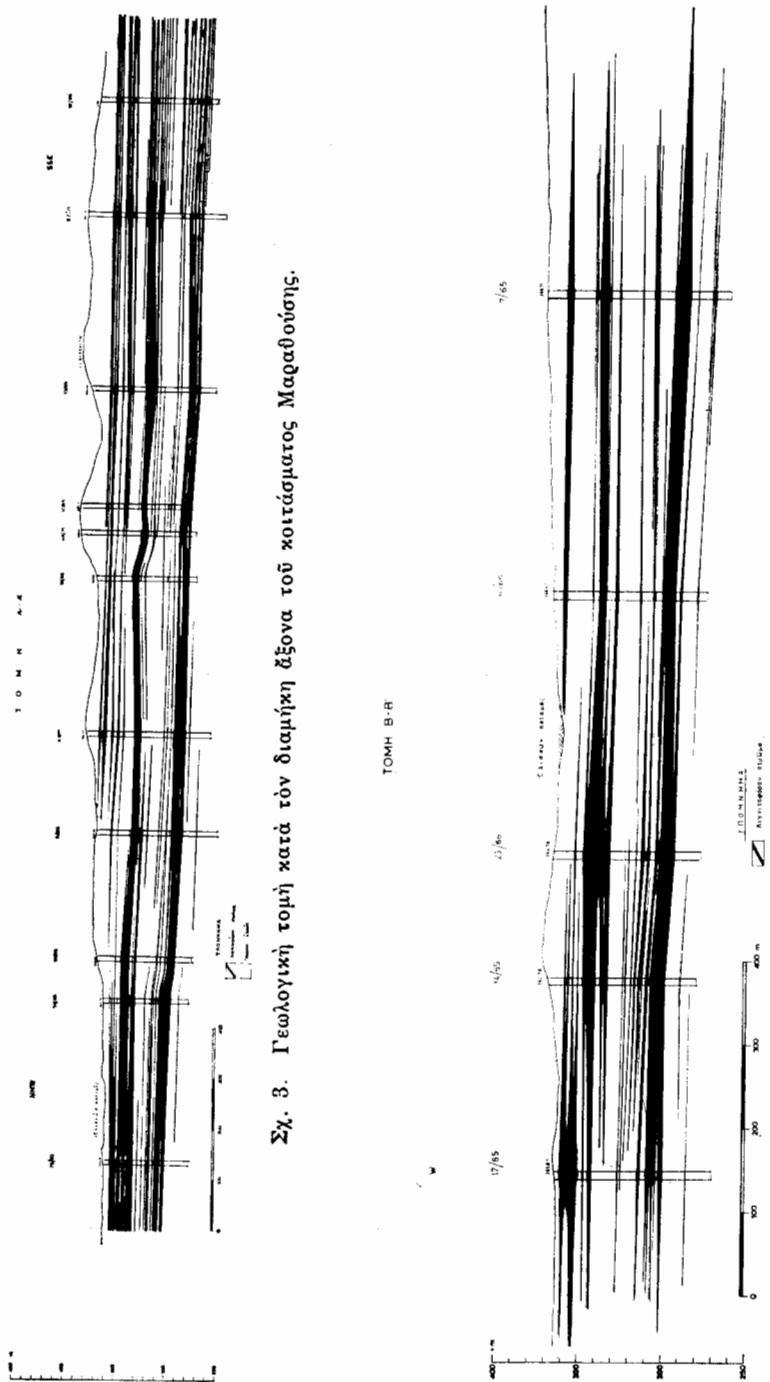
Στρώματα Μαραθούσης : Ὑπέρχεινται τῆς βαθμίδος Ἀπιδίτσης. Εἶναι λιγνιτοφόρα στρώματα, ἡ δὲ περιγραφὴ αὐτῶν, ἥτις ἀκολουθεῖ βασίζεται κυρίως εἰς τὰ ἀποτελέσματα τῆς γεωτρήσεως 13/65, ἥτις ὑφ' ἡμῶν ἐθεωρήθη ὡς ἀντιρροσωπευτικὴ διὰ τὸ κοίτασμα Μαραθούσης. Οὕτως, ἐκ τῶν κάτω πρὸς τὰ ἀνω, διακρίνομεν ἐν τῷ μήμα, πάχους περίπου 13 μ., ἀποτελούμενον ἐξ ἐναλλαγῶν ἀργίλου καὶ ἄμμου — εἰς ἑτέρας γεωτρήσεις συνηντήθη καὶ μάργα — χρώματος γκρὶ ἔως ἐρυθροῦ-καστανοῦ, μετὰ ἀσβεστολιθικῶν συγκριμάτων.

'Ακολουθοῦν οἱ τρεῖς λιγνιτικοὶ δρίζοντες, ἐκ τῶν κάτω πρὸς τὰ ἀνω I, II καὶ III χωριζόμενοι ἀπὸ ἀλλήλων ὑπὸ ἀγόνου νήλικον πάχους, περίπου 16 μέτρων (μεταξὺ I καὶ II) καὶ 11 μέτρων (μεταξὺ II καὶ III). Πλὴν τῶν ἐνδιαμέσων αὐτῶν ἀγόνων νήλικῶν ὑπάρχουν καὶ ἀργίλικα κυρίως παρεμβολαὶ μεταξὺ τῶν λιγνιτικῶν στρωμάτων, πάχους μερικῶν μέτρων ἔως μερικῶν ἑκατοστῶν τοῦ μέτρου, ὡς ὅταν ἔλωμεν εἰς τὴν περὶ τῆς κοιτασματολογίας τοῦ λιγνίτου παράγραφον.

Τὰ ἄγονα νήλικὰ ἀποτελοῦνται ἀπὸ ἀργίλους, ἀσβεστιτικὰς μάργας, ἄμμους καὶ ἰλύν. Συχνὰ εἶναι λίαν ἴσχυρῶς χουμώδη, διακρινόμενα λίαν δυσχερῶς τοῦ ἴσχυρῶς ἀργίλου χουμώδης λιγνίτου, ἰδίως ὅταν ὁ τελευταῖος εἶναι εὐθριπτος ἢ γαιώδης.

Τὸ χρῶμα τῶν ἀγόνων νήλικῶν κατὰ κανόνα εἶναι γκρί, καθιστάμενον καστανόχροον, ἀναλόγως τῆς περιεκτικότητός των εἰς χουμώδη νήλικά. Τὰ ἀσβεστολιθικὰ συγκρίματα δὲν εἶναι σπάνια, καθὼς καὶ οἱ ψαμμιτικοὶ χάλικες, συνήθως μεγέθους καρύον.

Σχ. 2. Γεωλογική τομή γεωτρήσεως 13/65 ητις ἐθεωρήθη ἀντιπροσωπευτική τοῦ κοιτάσματος Μαραθούνης.



Πρόκειται περὶ λιμναίων ἀποθέσεων καὶ ἐν μέρει ποταμίων. Ὡς πλουσιωτάτη πανίς καὶ χλωρίς ὑποδηλοῖ ὅτι πρόκειται περὶ ἀποθέσεων ὑπὸ κλῖμα ὑγρὸν καὶ θερμὸν (1η θερμὴ περίοδος) τοῦ Πλειστοκαίνου. Ἐντὸς τῶν κατωτέρων στρωμάτων τῆς Μαραθούσης ἀνευρέθησαν ὑπὸ τοῦ Σκούφου τὸ 1902 ὅστις θηλαστικῶν, ἀτινα κατὰ τὸν ΜΕΛΕΝΤΗΝ, ὅστις ἔκαμεν τοὺς σχετικοὺς προσδιορισμούς, εἶναι ἡλικίας ἀνωτέρου Βιλλαφραγκίου ἔως ἀνωτέρου Πλειστοκαίνου.

(γ) Ἀ ποθὲν εἰς ἀναβαθμίδων τοῦ ἀνωτέρου Πλειστοκαίνου (μεσαία ἀναβαθμὶς εἰς Ἑλισσώνα) ἢ τοιούτων τοῦ Ὁλοκαίνου (κατωτέρα ἀναβαθμὶς εἰς τὸν Ἀλφειόν). Αὗται συνίστανται ἐκ πηλοῦ, χαλίκων ποικίλης προελεύσεως, ἄμμου καὶ ἀργίλου. Τὸ πάχος αὐτῶν εἰς τὸ κοίτασμα Μαραθούσης ποικίλλει ἀπὸ μερικῶν δεκάδων ἑκατοστῶν τοῦ μέτρου ἔως 4 μέτρα.

4. ΠΑΛΑΙΟΓΕΩΓΡΑΦΙΑ

Ἡ περιοχὴ Μαραθούσης ἀποτελοῦσα τμῆμα τῆς τεκτονικῆς τάφρου Μεγαλοπόλεως, ἥκολούθησεν, φυσικῷ τῷ λόγῳ, τὴν τεκτογένεσιν καὶ παλαιογεωγραφικὴν ἔξελιξιν τῆς ἐν λόγῳ τάφρου.

Λεπτομερείας περὶ τῆς τεκτογενέσεως καὶ τῆς παλαιογεωγραφικῆς ἔξελίξεως τῆς λεκάνης Μεγαλοπόλεως ἔδωσεν ὁ R. VINKEN (1965).

Ἡμεῖς θὰ συνοψίσωμεν μόνον τὴν ἔξελιξιν τῆς λεκάνης καὶ τοῦτο διότι εἶναι ἀπαραίτητος ἡ παράθεσις παλαιογεωγραφικῶν στοιχείων ἵνα ἔξηγηθῇ ἡ κοιτασματολογία, ἡ γένεσις καὶ αἱ ποιοτικαὶ καὶ ποσοτικαὶ μεταβολαὶ τοῦ λιγνίτου κατὰ τὴν κατακόρυφον.

Μετὰ τὴν πιύχωσιν καὶ τὴν δημιουργίαν τῶν ἐπωθήσεων τῶν θαλασσίων ἵημάτων, ἀτινα ἀποτελοῦν τὸ ὑπόβαθρον τῆς λεκάνης, κατὰ τὸ στάδιον καθ' ὅ ἐλάμβανε χώραν ἐκτόνωσις τῶν τάσεων, αἵτινες είχον συσσωρευθῆ λόγῳ τῆς πτυχώσεως, ἐδημιουργήθησαν μεταξὺ Ὁλιγοκαίνου καὶ ἀνωτέρου Πλειοκαίνου κλιμακοειδεῖς διαρρήξεις, δημιουργήθεισης οὕτω μιᾶς τάφρου ἐντὸς τῆς ὁποίας εἰσήλασεν ἡ ἄνω πλειοκανικὴ λίμνη καὶ ἀπέθεσε τὰς μάργας τῆς βαθμίδος Μακροσίου. Ἡ δημιουργηθεῖσα τάφρος ἥρχισε νὰ καταβυθίζεται ταχέως, ἐνῷ τὰ κράσπεδα τῆς λεκάνης συνέχιζον νὰ ἀνυψοῦνται. Ἡ μεγάλη ταχύτης συνιζήσεως τῆς λίμνης, ἐν σχέσει πρὸς τὴν ἄνοδον τῆς στάθμης τοῦ ὄντας ἐντὸς αὐτῆς, ἥμποδισε τὴν τυρφογένεσιν, παρὰ τὸ γεγονὸς ὅτι αἱ κλιματικαὶ συνθῆκαι ἦσαν εὐνοϊκαί. Αἱ λιμναῖαι συνθῆκαι ἔπαψαν νὰ ὑφίστανται εἰς τὴν τάφρον κατὰ τὸ τέλος τοῦ Πλειοκαίνου. Κατὰ τὴν περίοδον ταύτην, ὅτε τὸ κλῖμα ἥδη εἶχεν καταστῆ περισσότερον ψυχρὸν καὶ περισσότερον πλούσιον εἰς ἀτμοσφαιρικὰ καταχρημάτα, ἀπετέθησαν αἱ ποτάμιοι καὶ λιμναῖαι ἀποθέσεις τῆς βαθμίδος Τριλόφου. Κατὰ τὴν ἐπακολουθήσασαν πρώτην ψυχρὰν περίοδον τοῦ Πλειστοκαίνου, ἀπετέθησαν τὰ ποτάμια στρώματα τῆς βαθμίδος Ἀπιδίτης. Κατὰ τὴν ἐπακολουθήσασαν 1ην θερμὴν περίοδον τοῦ Πλειστοκαίνου ἀπετέθησαν τὰ λιγνιτοφόρα

στρώματα Μαραθούσης. 'Η τυρφογένεσις υπήρξεν ἀσυνεχῆς δεδομένου ὅτι εἰς βραχείας μόνον περιόδους ἐπετυγχάνετο ἡ βασικὴ προϋπόθεσις τῆς τυρφογενέσεως, ἥτοι ἡ ἴσορροπία μεταξὺ τῆς ἵζηματος γενέσεως καὶ τῆς ἀνόδου τῆς ἵζηματος.

"Οταν ἡ ταχύτης φορτίσεως τῆς λεκάνης Βφ ἡτο μεγαλυτέρα τῆς ταχύτητος ἀνόδου τῆς στάθμης τοῦ ὕδατος Βνδ., ἀπετίθεντο χερσαῖαι ἀποθέσεις. 'Αντιθέτως ὅταν ἡ ταχύτης ἀνόδου τοῦ ὑδροφόρου δρίζοντος ἡτο μεγαλυτέρα τῆς Βφ ἀπετίθεντο μάργαι, ἄργιλοι ἢ ἄλλαι ἀποθέσεις λιμναῖαι.

Τέλος, ὅσον περισσότερον προσήγγιζε πρὸς τὴν ἰδεώδη ἰσορροπίαν ἡ σχέσις Βφ : Βνδ., τόσον καλυτέρα ἡτο ἡ ποιότης τοῦ λιγνίτου, δεδομένου ὅτι τὰ ἄγονα ὑλικὰ — κυρίως ἄργιλος — ἐντὸς τῶν ἀποθέσεων τοῦ λιγνίτου ἡσαν ὀλίγα. 'Αντιθέτως ὅσον ἀφίστατο τῆς ἰδεώδους ἰσορροπίας ἡ σχέσις Βφ : Βνδ., τόσον ἡ ποιότης του ὑπεβιβάζετο δεδομένου, ὅτι αἱ ἄγονοι προσμίξεις ηὑξάνοντο.

'Ως εἶναι εὔκολον νὰ ἀντιληφθῇ τις ἐκ τῶν τομῶν τῶν γεωτρήσεων, ἡ φόρτισις τῆς λεκάνης συνετελεῖτο μὲν συνεχῶς, πλὴν ὅμως μὲ διάφορον ταχύτητα.

Κατὰ τὴν 2^αν ψυχρὰν περίοδον τοῦ Πλειστοκαίνου, ἀπετέθησαν μὲν εἰς τὴν λεκάνην Μεγαλοπόλεως αἱ ποτάμιοι ἀποθέσεις τῶν στρωμάτων Μεγαλοπόλεως, πλὴν ὅμως ταῦτα δὲν εἶχον καθολικὴν ἔξαπλωσιν καὶ ἐν πάσῃ περιπτώσει ὑπὸ οὐδεμιᾶς τῶν ὑφ' ἡμῶν ἐκτελεσθεισῶν γεωτρήσεων συνηντήθησαν. Τέλος κατὰ τὸ ἀνώτερον Πλειστόκαινον καὶ Ὁλόκαινον, καὶ ἐνῷ συνεχίζετο ἡ συνίζησις τῆς λεκάνης μὲ ταχύτητα μεγαλυτέραν τῆς ἀνόδου τῆς ὑδροστατικῆς στάθμης, ἀπετέθησαν ὑπὸ τοῦ Ἀλφειοῦ καὶ τῶν παραποτάμων αὐτοῦ αἱ διάφοροι ἀναβαθμίδες.

Τεκμήριον τῆς ἀκόμη καὶ σήμερον συνεχίζομένης συνίζησεως τῆς λεκάνης Μεγαλοπόλεως, μὲ ταυτόχρονον ἀνύψωσιν τῶν κρασπέδων ταύτης, ἀποτελοῦν αἱ κατὰ διαστήματα σημειούμεναι σεισμικαὶ δονήσεις εἰς τὴν περιοχήν.

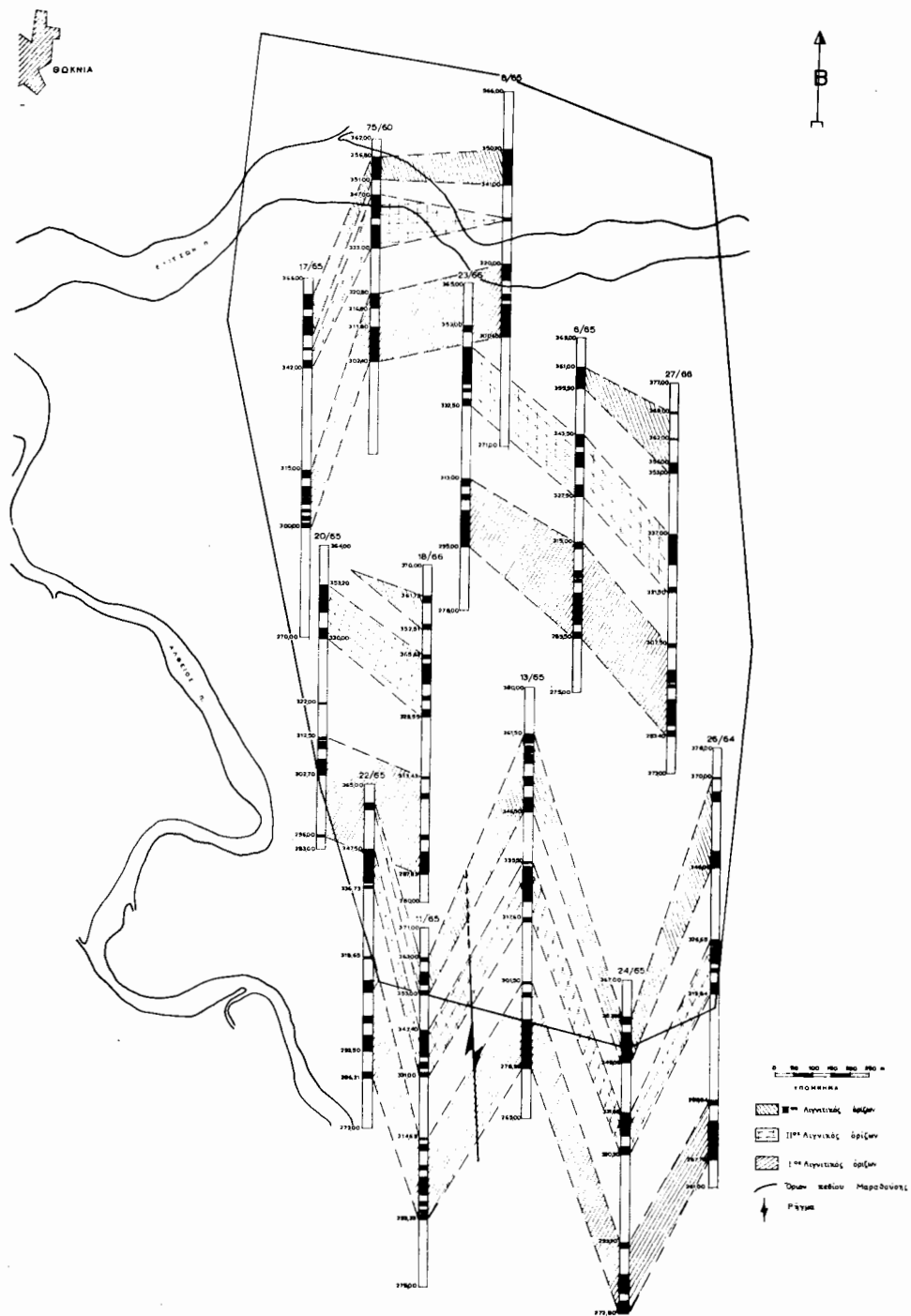
'Αξιοσημείωτον εἶναι τὸ γεγονός, ὅτι ἡ περιεκτικότης τῆς ἀμμου ἐντὸς τῶν λιγνιτικῶν ἀποθέσεων αὐξάνει ἐκ NNA πρὸς BBΔ κατεύθυνσιν μὲ ταυτόχρονον ἐλάτωσιν τῆς ἄργιλου. Τοῦτο σημαίνει, ὅτι ἡ τροφοδοσία τοῦ λιγνιτικοῦ κοιμάσματος τοῦ πεδίου Μαραθούσης ἔλαβε χώραν ἐκ BBΔ κατευθύνσεως.

5. ΚΟΙΤΑΣΜΑΤΟΛΟΓΙΑ

5. 1. Μορφολογία τοῦ κοιτάσματος.

'Ως εἴδωμεν εἰς προηγουμένην παράγραφον, τὰ λιγνιτοφόρα στρώματα εἶναι ταῦτα τῆς Μαραθούσης.

'Η ἀσυνεχῆς φόρτισις καὶ συνίζησις τῆς λεκάνης, εἶχεν ὡς ἀποτέλεσμα νὰ μὴ λαμβάνῃ χώραν συνεχῆς τυρφογένεσις καὶ ἔξ αὐτῆς λιγνιτογένεσις, εἰμὴ μόνον εἰς ὁρισμένας περιόδους, καὶ ὃς ἐπετυγχάνετο ἴσορροπία μεταξὺ τῆς λεκάνης καὶ τῆς ταχύτητος ἵζηματος γενέσεως ἐντὸς τῆς λεκάνης καὶ τῆς ταχύτητος ἀνόδου τοῦ ὑπεδα-



Σχ. 5. Συσχετισμός γεωτρήσεων λιγνιτικοῦ πεδίου Μαραθούσης.

φικοῦ ὑδροφόρου δρίζοντος, παρὰ τὸ γεγονός ὅτι αἱ κλιματικαὶ συνθῆκαι ἐπὶ μακρὰς περιόδους ὑπῆρχαν εὐνοϊκαί.

‘Ἡ γεωλογικὴ τομὴ τῆς γεωτρήσεως 13/65 ἡτις ὑφ’ ἡμῶν ἐθεωρήθη ἀντιπροσωπευτικὴ τοῦ κοιτάσματος Μαραθούνης, λαμβάνεται ὡς πρότυπος διὰ τὴν περιγραφὴν τῶν κοιτασματολογικῶν συνθηκῶν τοῦ λιγνίτου, τὰ ἀναφερόμενα ὅμως πάχη ἔχοντα ληφθῆ ἐκ συνδυασμοῦ πρὸς τὰς ὑπολοίπους γεωτρήσεις.

Τὸ ὑποκείμενον τῶν λιγνιτικῶν στρωμάτων ἀποτελεῖται ἀπὸ ἐναλλαγὰς ἀργύλου καὶ ἄμμου, χρώματος καστανοῦ ἔως ἐρυθροῦ, σπανιώτερον δὲ ἔλαιοπρασίνου, περιεχούσας καὶ ἀσβεστολιθικὰ συγκρόματα. Τὸ πράσινον χρώμα, ὡς ἀνεφέρομεν καὶ ἀλλαχοῦ, δοφείλεται εἰς ἀναγωγικὰς διεργασίας, αἵτινες ἔλαβον χώραν. Τὰ στρώματα ταῦτα εἶναι τὰ μεταβατικὰ μεταξὺ τῆς βαθύτερης Χωρεμίου καὶ Ἀπιδίτησης.

‘Ἀκολουθοῦν λιγνιτικὰ στρώματα μετὰ παρεμβολῶν ἀγόνου ὑλικοῦ, πάχους 32 μ. περίπου. Τὰ λιγνιτικὰ ταῦτα στρώματα συνιστοῦν τὸν βαθύτερον λιγνιτικὸν δορίζοντα (δορίζων I).

Τὸ πάχος τούτου εἶναι συχνὰ μικρότερον, ὡς τοῦτο ἐμφαίνεται καὶ εἰς τὰς γεωλογικὰς τομάς.

‘Ο λιγνιτικὸς οὗτος δορίζων συνίσταται ἐξ ἑνὸς κατωτέρου λιγνιτικοῦ στρώματος, πάχους 2,50 μ., ἐκ λιγνίτου ἰσχυρῶς ἔως λίαν ἰσχυρῶς ἀργιλούχου, ἀκολουθεῖ ἐνδιάμεσον ἀγόνου ὑλικὸν ἐξ ἀργύλου λίαν ἰσχυρῶς χουμώδους πάχους 1,5 - 2 μέτρων, δεύτερον στρώμα λιγνίτου, πάχους μέχρις ἑνὸς μέτρου καὶ μετὰ τὴν παρεμβολὴν ἐνδιαμέσον ἀγόνου πάχους περίπου 1 μ. ἀκολουθεῖ δὲ κυρίως λιγνιτικὸς δορίζων πάχους 7,5 - 15 μέτρων καὶ μετὰ παρεμβολὴν ἐνδιαμέσον ἀγόνου μεγίστου πάχους 6 μ. ἀκολουθοῦν δύο ἀνώτερα στρώματα λιγνίτου, πάχους μικροτέρου τῶν δύο μέτρων ἔκαστον χωριζόμενα ὑπὸ ἐνδιαμέσου ἀγόνου ὑλικοῦ, πάχους 2,5 - 4,5 μέτρων. Ἐνίστε τὸ ἀνωτέρω τμῆμα τοῦ κοιτάσματος διασπᾶται εἰς λιγνιτικὰ στρώματα μικροῦ πάχους ἀτινα ἐναλλάσσονται πρὸς ἐνδιαμέσα ἄγονα ὑλικά.

Μεταξὺ τοῦ ἐν λόγῳ λιγνιτικοῦ δορίζοντος καὶ τοῦ ἀμέσως ἐπομένου (δορίζων II) μεσολαβεῖ ἐνδιάμεσον ἀγόνου ὑλικὸν πάχους 10 - 17 μέτρων, ἐξ ἐναλλαγῶν ἀργύλων καὶ ἄμμων, συχνὰ χουμώδων, χρώματος γκρὶ ἔως βαθέως γκρί. Ἐνίστε μεταξὺ τοῦ ἐνδιαμέσου αὐτοῦ ἀγόνου παρεμβάλλονται λεπτὰ στρώματα λιγνίτου πάχους μερικῶν ἔκατοστῶν ἔως δεκάδων ἔκατοστῶν τοῦ μέτρου.

Τὸ πάχος τοῦ ὡς ἀνω λιγνιτικοῦ δορίζοντος κυμαίνεται μεταξὺ 15 - 20 μέτρων ἄλλοτε μὲν ἀποτελεῖται ἀπὸ ἐν ἀνώτερον τμῆμα, πάχους 7,5 - 10 μέτρων, τὸ δοπίον χωρίζεται ὑπὸ τοῦ κατωτέρου λιγνιτικοῦ τμήματος, πάχους 3 - 6 μ., ὑπὸ ἐνδιαμέσου ἀγόνου 0,5 - 5 μέτρων, ἄλλοτε δὲ ἀποτελεῖται ὑπὸ ἑνὸς συμπαγοῦς λιγνιτικοῦ τμήματος, πάχους 9 - 15 μέτρων καὶ μερικῶν ἀνωτέρων καὶ κατωτέρων λιγνιτικῶν στρωμάτων, πάχους μερικῶν δεκάδων ἔκατοστῶν, χωριζόμενων ἀπὸ τοῦ κυρίους λιγνιτικοῦ τμήματος ὑπὸ ἐνδιαμέσων ἀγόνων, πάχους τριῶν μέτρων μέχρις μερικῶν δεκάδων ἔκατοστῶν τοῦ μέτρου.

‘Ο ἐν λόγῳ λιγνιτικὸς δορίζων διαχωρίζεται ἀπὸ τοῦ ἀνωτέρου τοιούτου (δορίζων III) ὑπὸ ἐνδιαμέσου ἀγόνου ὑλικοῦ, πάχους 5 - 15 μέτρων, ἐξ ἀργύλου μετά

άμμωδῶν παρεμβολῶν· ἐνταῦθα ἀφθονοῦν τὰ φυτικὰ λείψανα. Ὁ ἐν λόγῳ λιγνιτικὸς ὁρίζων δὲν συνητήθη ὑφ' ὅλων τῶν γεωτρήσεων, δεδομένου ὅτι συχνὰ ἔχει πλήρως διαβρωθῆ. Ὅσακις διετρήθη ὑπὸ τῶν ὑφ' ἡμῶν ἐκτελεσθεισῶν γεωτρήσεων, οὗτος ἀντιπροσωπεύεται ὑπὸ τοῦ κατωτάτου τμήματός του. Τὸ συνολικὸν πάχος του φαίνεται ὅτι ὑπερβαίνει τὰ 25 μέτρα, συνίσταται δὲ κατὰ κανόνα ἔξι ἐναλλαγῶν λιγνιτικῶν στρωμάτων, πάχους μερικῶν δεκάδων ἐκατοστῶν τοῦ μέτρου μέχρι 5 μέτρων, καὶ ἐνδιαμέσου ἀγόνου ὑλικοῦ, τὸ διποῖον συχνὰ φθάνει νὰ ἀποτελῇ τὸ ἥμισυ καὶ πλέον τοῦ συνόλου τοῦ λιγνιτικοῦ ὁρίζοντος.

Τέλος, τὸ ὑπερκείμενον τοῦ ἐν λόγῳ λιγνιτικοῦ ὁρίζοντος ἀποτελεῖται ἀπὸ πηλόν, χάλικας κατὰ κύριον λόγον καὶ ἀργίλων καὶ μαργάρων, κατὰ δεύτερον λόγον. Τὸ ἐλάχιστον συνολικὸν πάχος καὶ τῶν τριῶν λιγνιτικῶν ὁρίζοντων (λιγνιτικῆς στιβάδος) ἀνέρχεται εἰς 49,32 μ., τὸ δὲ μέγιστον εἰς 102,43 μ. (Πίναξ 1). Ἡ μορφὴ τοῦ λιγνιτικοῦ κοιτάσματος πολλάκις ἀλλοιοῦται, συνεπείᾳ τῆς τεκτονικῆς.

Εἰς τὰ ὑπερυψωμένα τεμάχη συχνώτατα διπότος λιγνιτικὸς ὁρίζων, ἔχει διαβρωθῆ.

Αἱ λιγνιτικαὶ ἀποθέσεις ἔχουν λεπτοπλακώδη ἔως λεπτοστρωματώδη ὑφὴ ὅταν ὁ λιγνίτης εἶναι συμπαγής. Ἐνίστε ὅμως ὁ λιγνίτης εἶναι εὐθριπτος ἀκόμη δὲ καὶ γαιώδης. Τὰ λιγνιτικὰ στρώματα παρουσιάζουν πλευρικὴν μετάβασιν, ἰδίως κατὰ τὴν κάθετον κατεύθυνσιν πρὸς τὸν ἄξονα τῆς λεκάνης ἢτοι Α-Δ, ἔως ΝΑ-ΒΔ, ἢτις δυνατὸν νὰ εἶναι μόνον ποιοτική, ἐνίστε ὅμως αὐτὸς οὗτος ὁ λιγνίτης μεταπίπτει εἰς ἄγονον ὑλικόν.

Οὕτως, τὸ μεγαλύτερον πάχος τῶν λιγνιτικῶν ἀποθέσεων παρουσιάζεται περὶ τὴν ἄξονικὴν περιοχὴν τοῦ κοιτάσματος, ἐνῷ, ἀντιθέτως, πρὸς τὰ κράσπεδα τὸ πάχος μειοῦται σημαντικῶς ἐπ' ὠφελείᾳ τῶν ἀγόνων ἀποθέσεων.

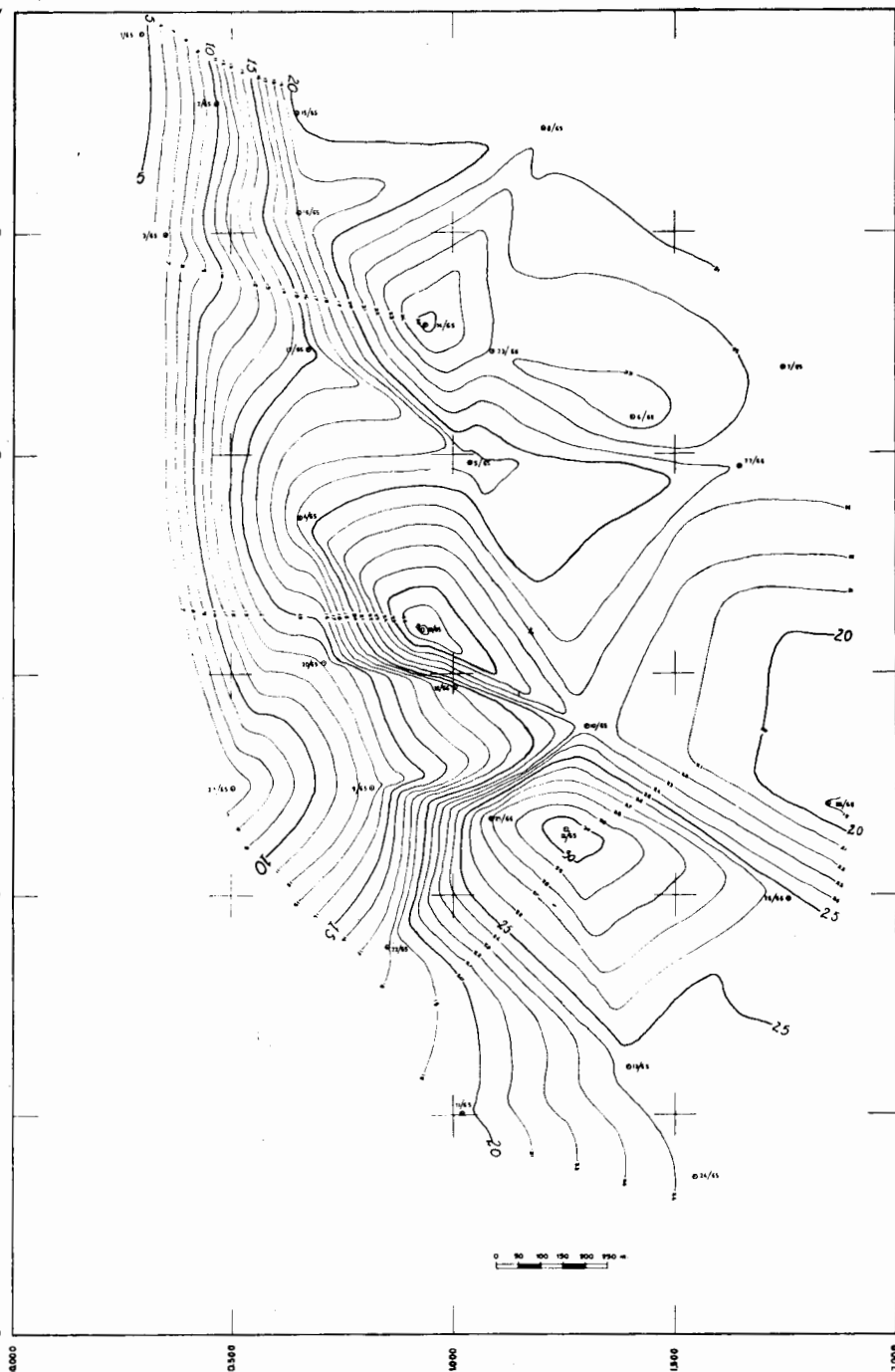
5.2. Τεχνικὰ στοιχεῖα τοῦ κοιτάσματος.

Τὸ λιγνιτικὸν πεδίον Μαραθούνσης χαρακτηρίζεται ἐκ τοῦ γεγονότος ὅτι δὲν εἶναι εὔκολος διαχείρισμός ἔνιαίς ὁριοφῆς τοῦ λιγνίτου, καθ' ὅτι δὲν ὑφίσταται ἔνιαία φυσικὴ τοιαύτη. Τοῦτο ὀφείλεται ἀφ' ἐνὸς μὲν εἰς τὴν ἐπίδρασιν τοῦ τεκτονισμοῦ, ὅστις ἔχει προκαλέσει συχνὰ κατακορύφους μετατοπίσεις τοῦ κοιτάσματος, ἀφ' ἑτέρου δὲ εἰς τὴν διάβρωσιν, ἢτις ἔχει ἀποκομίσει συχνὰ ὀλόκληρον τὸν ΙΙον λιγνιτικὸν ὁρίζοντα. Οὕτως, ἡ ὁροφὴ τοῦ λιγνίτου εὑρίσκεται εἰς ἀπόλυτον ὑψόμετρον κυμαινόμενον μεταξὺ 344,86 μ. (γεώτρησις 3/65) καὶ 370,62 μ. (γεώτρησις 10/65). Τὸ ἀπόλυτον ὑψόμετρον τοῦ δαπέδου τοῦ λιγνίτου κυμαίνεται ἀντιστοίχως μεταξὺ 265,55 μ. (γεώτρησις 28/66) καὶ 341,57 μ. (γεώτρησις 21/66). Ὅσον ἀφορᾶ εἰς τὸ πάχος τῆς λιγνιτοφόρου στιβάδος καὶ τοῦτο κυμαίνεται, καθ' ὅτι, ὡς προανεφέρθη, εἰς τινας περιπτώσεις διάλοκληρος ὁ ΙΙος λιγνιτικὸς ὁρίζων ἔχει διαβρωθῆ. Οὕτω κυμαίνεται ἀπὸ 11,44 μ. (γεώτρησις 21/66) ἔως 102,43 μ. (γεώτρησις 26/66). Τὸ μέσον πάχος τῆς λιγνιτοφόρου στιβάδος ἀνέρχεται εἰς 67,71 μ. Διὰ τὸν αὐτὸν λόγον ποικίλει καὶ τὸ πάχος τοῦ διαπιστωθέντος

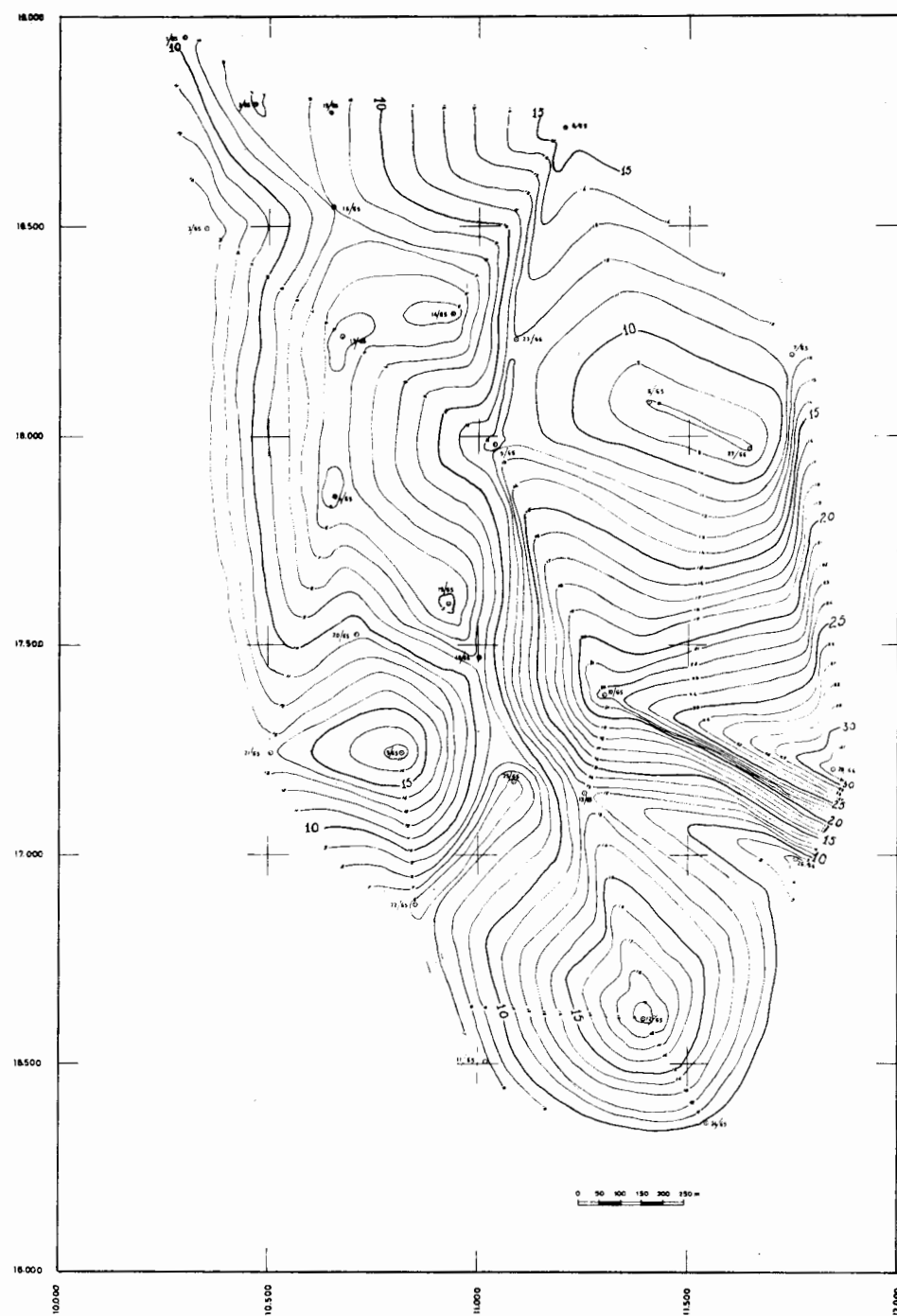
ΠΙΝΑΞ 1
ΚΟΙΤΑΣΜΑΤΟΛΟΓΙΚΑ ΧΑΡΑΚΤΗΡΙΣΤΙΚΑ ΤΟΥ ΛΙΓΝΙΤΙΚΟΥ ΠΕΔΙΟΥ

ΑΡΙΘΜΟΣ ΚΙΤΙΝΗΣ ΣΑΒΟΙΣ *	ΔΙΑΣΤΑΣΗ ΧΑΡΑΚΤΗΡΙΣΤΙΚΑ ΕΠΙΦΑΝΕΙΑΣ ΕΠΙΧΕΙΡΗΣΗΣ	ΔΙΑΣΤΑΣΗ ΧΑΡΑΚΤΗΡΙΣΤΙΚΑ ΕΠΙΦΑΝΕΙΑΣ ΕΠΙΧΕΙΡΗΣΗΣ	ΠΛΑΧΟΙ ΑΙΓΑΙΝΟΥ ΕΠΙΦΑΝΕΙΑΣ ΕΠΙΧΕΙΡΗΣΗΣ									
1	2	3	4	5	6	7	8	9	10	11	12	13
1/65	85,00	358,75	273,75	569,25	505,88	4,5-3,7	9,50	5,69,4	0,00	3,89,4	4,8-4,4	1,4-3
2/65	95,00	356,64	263,64	351,78	302,60	4,9-1,8	9,86	3,82,6	1,06	3,95,4	4,2-2,0	9,8-6
3/65	78,00	358,75	280,75	364,86	301,50	4,5-5,6	8,60,9	0,87	5,69,6	5,0-5,5	6,60	2,1-1
4/65	86,70	368,51	281,81	363,61	67,93	4,90	1,6-5,2	0,57	4,86,9	5,5-5,9	1,92,6	0,2-5,1
5/65	117,00	372,60	255,60	360,31	288,74	7,1-5,7	1,22,9	5,2-8,1	0,72	5,3-0,3	6,5-3,2	1,85,4
6/65	94,00	368,67	274,67	360,67	289,10	7,1-5,7	8,00	4,3-6,9	4,4-9	4,8-0,8	5,6-0,0	2,3-4,9
7/65	109,00	369,71	260,71	355,21	284,97	7,8-6,4	1,1-3,0	5,01,0	1,7,6	5,1-8,6	6,3-1,6	2,4-0,1
8/65	94,00	368,59	271,39	363,59	300,04	4,95,5	1,58,0	2,66,5	2,17	2,90,2	4,4-8,2	2,0-5,3
9/65	89,80	365,99	276,18	368,56	290,62	57,94	1,7-3	1,1-2	4,5-1	6,2-8,4	1,25,3	0,2-1
10/65	107,00	592,75	285,75	570,55	87,70	22,20	5,97,4	2,57	6,2-3	8,4-5,1	2,23,9	0,99,1
11/65	95,30	570,85	274,55	388,93	293,18	6,88,5	7,82	4,6-9,7	3,1-9	5,7-8,0	1,9-6,9	0,4-0,1
12/65	116,50	586,60	270,10	367,15	275,82	9,1-3	1,9-6,6	6,5-0,9	1,7,9	6,6-6,8	6,6-3,8	2,2-5,5
13/65	115,00	580,59	265,39	366,09	279,23	8,68,0	1,2-3,0	5,5-6,5	2,2-4	5,7-8,9	7,0-1,9	3,0-9,1
14/65	85,00	362,78	279,78	356,00	297,88	6,01,2	4,7,8	3,4-1,4	0,6	5,4-8,0	3,9-5,6	1,2-1
15/65	91,50	361,32	269,82	552,89	4,93,2	8,4-3	2,7-7,0	1,50	2,9-2,0	3,7-6,3	2,0-1,2	1,4-5,1
16/65	85,00	569,93	276,93	511,93	300,81	5,1-1,2	8,00	3,0-1,8	2,7-9	3,2-9,7	4,0-8,7	1,8-1,5
17/65	95,50	565,87	265,82	360,03	299,54	6,1-3	4,8-4	4,3-2,4	1,0-6	5,1-5,2	1,4-8,1	0,3-3,1
18/65	89,50	369,82	280,32	361,61	287,65	7,3-9,6	6,2,1	5,9-8,4	1,0,7	5,4-8,1	6,3-1,2	1,9-0,5
19/65	93,00	374,27	281,27	369,88	290,05	7,9,76	4,6-6	5,1-4,3	1,2,1	5,2-6,4	5,7-0,6	2,7-1,4
20/65	80,70	563,90	283,20	553,10	298,57	5,7-3,9	1,0-8,0	4,2-6,7	1,6,4	4,4-3,1	1,6-3,1	0,6-2,1
21/65	98,00	566,87	268,87	353,01	341,57	1,1-4,4	1,3-9,6	4,9-5	0,2-7	5,2-2	1,9-0,8	6,2-2
22/65	92,00	365,57	273,57	359,76	286,68	7,2-8,6	5,8,1	5,3-3,9	1,5,8	5,4-9,7	6,0-7,8	1,7-9,1
23/65	87,00	364,76	277,76	352,85	294,77	5,8,0,8	1,9-3	3,9-5,5	1,6,1	3,5-1,6	4,7-0,9	2,2-9,2
24/65	102,50	567,46	264,96	357,36	273,25	8,4-1,8	1,0-8	5,7-0,8	2,6,6	5,9-7,4	6,9-8,2	2,4-3,9
25/65	105,9	372,62	266,72	367,27	281,79	8,5-6,8	5,3-5	5,3-7,1	3,7,7	5,7-6,8	6,2-8,3	1,0-5,1
26/65	117,40	378,61	261,01	370,62	268,19	10,2-4,5	7,7-9	1,0-6	7,6-9,7	8,4-7,6	2,5-6,6	3,0-2,1
27/65	104,00	577,08	275,92	363,49	283,66	8,6-0,1	7,9-5	6,1-5,9	3,4,1	6,5-0,0	7,2-5,9	2,1-0,1
28/65	121,00	379,5	258,68	368,35	265,55	8,2-8,0	3,1-9	6,1-6,8	2,1,5	6,3-8,1	9,5-3,1	1,8-9

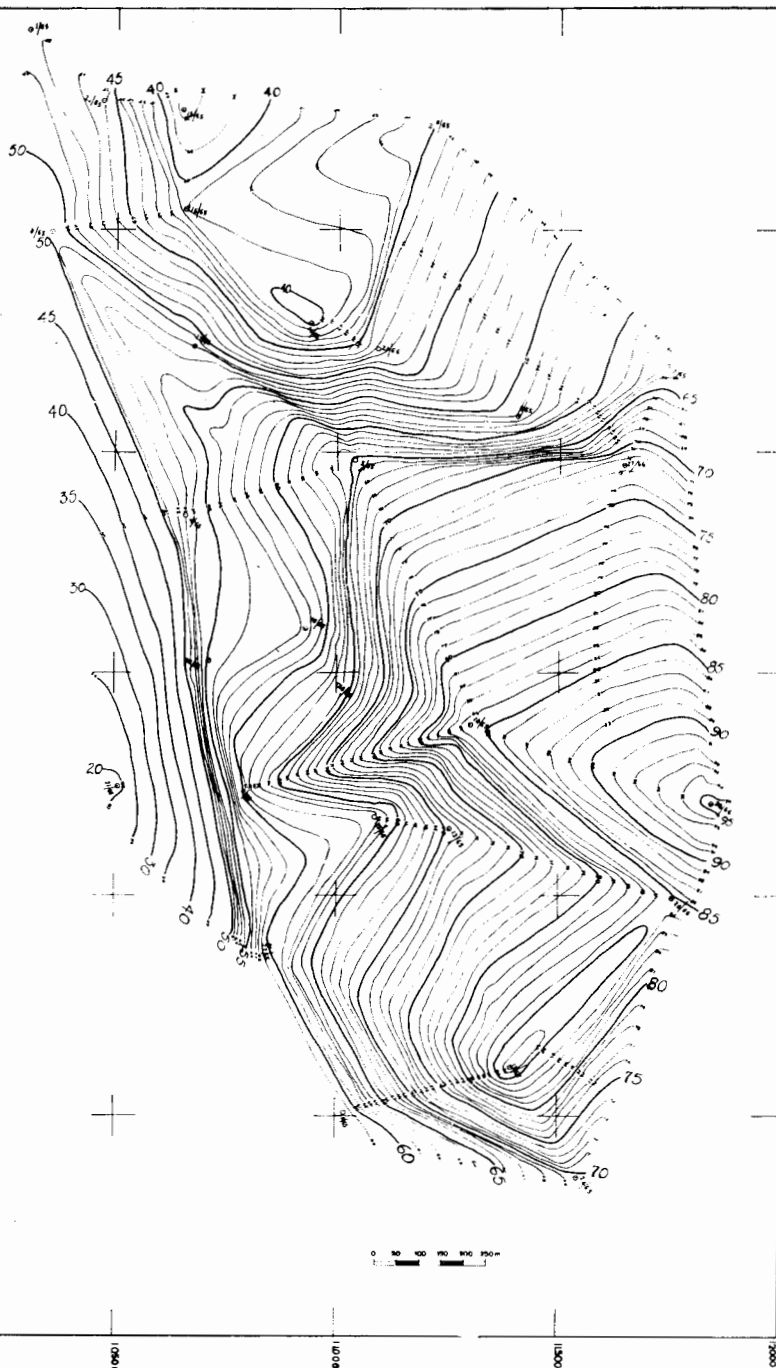
* Εάν δύο λιγνιτικά στρώματα διαχωρίσονται υπό άπολετας πυρηνός ή ύπο ένδιαιμέσων άγριων πάγκους μικροτέρου των 40 έτων, θεωρούνται ως ένιατον στόχιο.



Σχ. 6. Χάρτης ισοπαχών καμπυλών άποληψίμου λιγνίτου.



Σχ. 7. Χάρτης ισοπαχών καμπυλών ύπερκειμένων άγρονων.



Σχ. 8 Χάρτης ίσοπαχών καμπυλών ύπερχειμένων, ένδιαμέσων άγόνων και άπωλειών πυρηνος.

λιγνίτου, δύπερ κυμαίνεται άπο 4,43 μ. (γεώτρησις 1/65) έως 30,91 μ. (γεώτρησις 13/65). Τὸ μέσον πάχος τοῦ διαπιστωθέντος λιγνίτου ἀνέρχεται εἰς 19,17 μ.

Τὸ πάχος τῶν ὑπερκειμένων ἀγόνων ὑλικῶν παρουσιάζει διοιώς ἵσχυρὰν κύμανσιν ἀπὸ 4,44 μ. (γεώτρησις 19/66) έως 31,50 μ. (γεώτρησις 28/66). Τὸ μέσον πάχος τούτων ἀνέρχεται εἰς 10,91 μ. Τὸ πάχος τῶν ἐνδιαμέσων ἀγόνων — συμπεριλαμβανομένων τῶν ἀπωλειῶν πυρῆνος — κυμαίνεται ἀπὸ 5,22 μ. (γεώτρησις 21/66) έως 76,97 μ. (γεώτρησις 26/66). Τὸ μέσον πάχος τῶν ἐνδιαμέσων, ὡς ἀνωτέρω, ἀγόνων ἀνέρχεται εἰς 47,94 μ. Ἡ σχέσις ὑπερκειμένων ἀγόνων πρὸς λιγνίτην κυμαίνεται μεταξὺ 0,16 : 1 (γεώτρησις 19/66) καὶ 2,14 : 1 (γεώτρησις 1/65), ἐνῷ ἡ σχέσις ἐνδιαμέσων ἀγόνων πρὸς λιγνίτην κυμαίνεται μεταξὺ 1,37 : 1 (γεώτρησις 14/65) καὶ 8,79 : 1 (γεώτρησις 9/65).

Οἱ ἀριθμὸς τῶν λιγνιτικῶν στρωμάτων, πάχους μεγαλυτέρου τῶν 20 ἑκατοστομέτρων, δῖστις διεπιστώθη διὰ τῶν γεωτρήσεων κυμαίνεται μεταξὺ 4 (γεώτρησις 1/65) καὶ 15 (γεώτρησις 12/65). Τὸ ἐλάχιστον πάχος τῶν ἐπὶ μέρους λιγνιτικῶν στρωμάτων κυμαίνεται μεταξὺ 0,40 μ. (γεωτρήσεις 3/65, 12/65, 15/65, 18/66 καὶ 26/66) καὶ 0,80 μ. (γεώτρησις 2/63), ἐνῷ τὸ μέγιστον μεταξὺ 2,54 μ. (γεώτρησις 1/65) καὶ 10,82 μ. (γεώτρησις 25/66). Τὰ μέσα ἐλάχιστον καὶ μέγιστον πάχη ἀντιστοίχως, ἀνέρχονται εἰς 0,47 μ. καὶ 6,09 μ.

Ἐὰν ληφθῇ δῆμος ὅπ' ὅτι αἱ γεωτρήσεις 1/65, 2/65, 3/65 καὶ 21/66 εὑρίσκονται ἔκτὸς τοῦ πεδίου Μαραθούσης (ἴδε σχ. 6) τότε τὰ ὡς ἄνω ἀναφερθέντα τεχνικὰ στοιχεῖα τοῦ κοιτάσματος, ἀτινα περιέχονται εἰς τὸν Πίνακα 1 τροποποιοῦνται. Οὕτω τὸ μικρότερον ἀπόλυτον ὑψόμετρον τῆς δροφῆς, τοῦ Λιγνίτου ἀνέρχεται εἰς 348,35 μ. (γεώτρησις 28/66), τὸ μέγιστον ἀπόλυτον ὑψόμετρον τοῦ δαπέδου τοῦ λιγνίτου ἀνέρχεται εἰς 303,57 μ. (γεώτρησις 15/65), τὸ μικρότερον διαπιστωθὲν πάχος τῆς λιγνιτοφόρου στιβάδος ἀνέρχεται εἰς 49,32 μ. (γεώτρησις 15/65), τὸ μικρότερον πάχος τοῦ διαπιστωθέντος λιγνίτου ἀνέρχεται εἰς 12,53 μ. (γεώτρησις 9/65), τὸ μικρότερον πάχος τῶν ἐνδιαμέσων ἀγόνων ἀνέρχεται εἰς 29,02 μ. (γεώτρησις 8/65) καὶ τέλος ἡ πλέον δυσμενὴς σχέσις ὑπερκειμένων ἀγόνων πρὸς λιγνίτην ἀνέρχεται εἰς 1,66 : 1 (γεώτρησις 28/66).

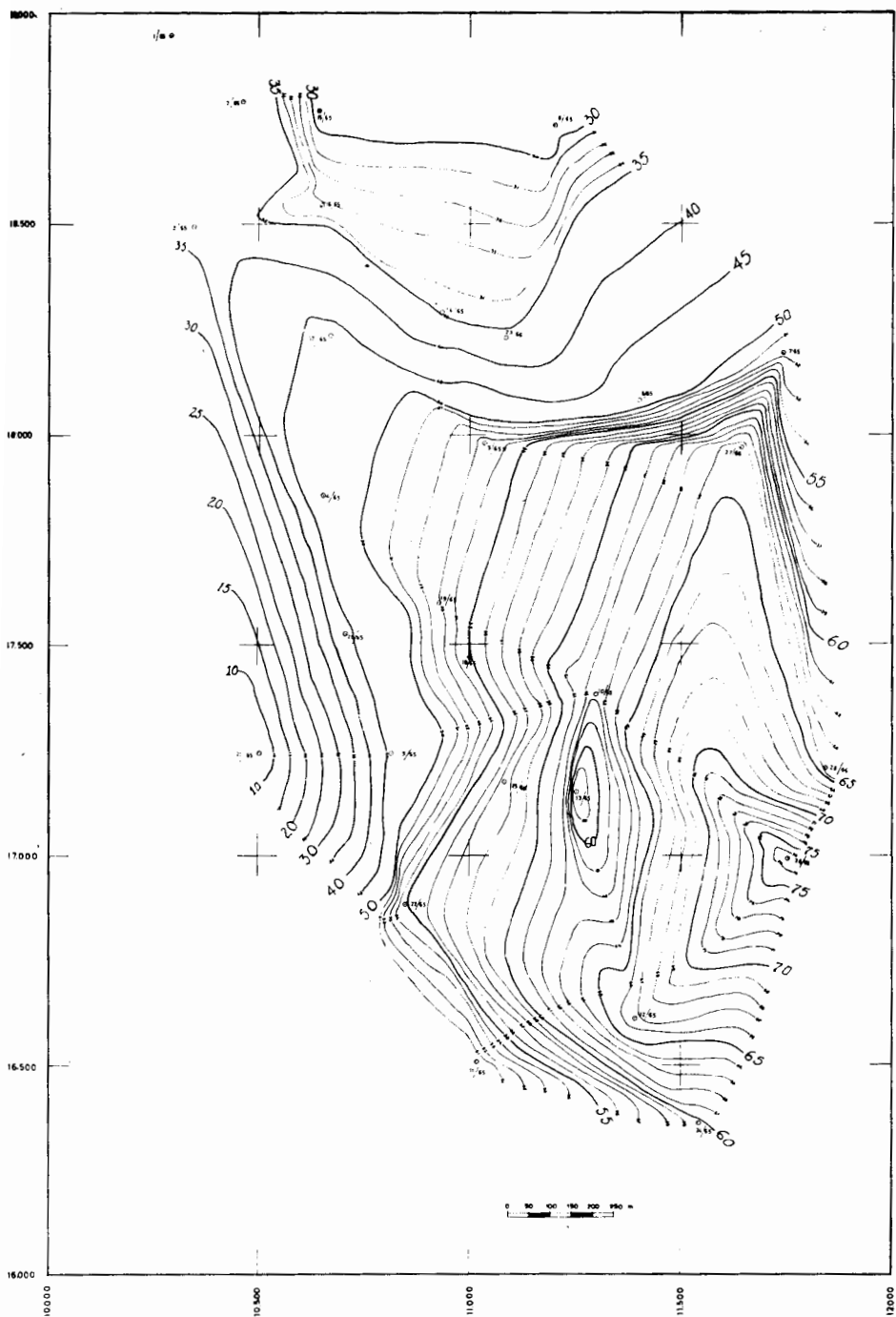
Τέλος, ἐκ τοῦ Πίνακος 3 προκύπτει ὅτι ἡ σχέσις ἀγόνων πρὸς λιγνίτην, κατ' ὅγκον, κυμαίνεται μεταξὺ 1,66 : 1 (γεώτρησις 14/65) έως 5,02 : 1 (γεώτρησις 28/65) τῆς μέσης τιμῆς τῆς ἐν λόγῳ σχέσεως ἀνερχομένης εἰς 2,90 : 1.

5.3. Πετρογραφικὸς χαρακτὴρ τοῦ λιγνίτου.

Οἱ Πετρογραφικὸς χαρακτὴρ τοῦ λιγνίτου τοῦ κοιτάσματος Μαραθούσης δῖστις κατὰ τὸ μᾶλλον ἡ ἥπτον ποικίλλει — ἀναφερόμεθα εἰς τοὺς μακροσκοπικὸν χαρακτήρας αὐτοῦ — ἔχει ἀμεσον ἐπίδρασιν ἐπὶ τῆς ποιότητος αὐτοῦ.

Οἱ βασικοὶ μακροσκοπικοὶ χαρακτῆρες τοῦ λιγνίτου, οἵτινες περιεγράφησαν καὶ εἰς τὰς γεωλογικὰς τομὰς τῶν γεωτρήσεων εἴναι :

- 1) Ἡ ὑφή.
- 2) Ἡ περιεκτικότης εἰς ἀνοργάνους ὕλας.



Σχ. 9. Χάρτης Ισοπαχῶν καμπυλῶν ἐνδιαμέσων ἀγόνων μετὰ ἀπωλειῶν.

‘Η ύφη τοῦ λιγνίτου κατὰ κύριον λόγον εἶναι στρωματώδης. ‘Η στρωματώδης αὔτη ύφη ὑλοποιεῖται ἐκ τῆς παρουσίας μακροσκοπικῶς δρατῶν συστατικῶν, ἀτινα διὰ τῆς ἐναλλαγῆς των καὶ τῆς παρεμβολῆς των ἐντὸς τῆς στρώσεως, προσδίδουν τὸν ὡς ἄνω χαρακτήρα εἰς τὸν λιγνίτην.

Τὰ ἐν λόγῳ συστατικὰ εἶναι κυρίως φυτικὰ λείψανα καὶ ἐνστρώσεις ἀγόνων ὑλικῶν ἐντὸς τοῦ λιγνίτου.

‘Αναλόγως τοῦ πάχους τῶν λιγνιτικῶν ἐνστρώσεων οἱ λιγνῖται ἔχαρακτηρίσθησαν ὡς κάτωθι :

(α) Λεπτοστρωματώδεις : Εἰς τοὺς ἐν λόγῳ λιγνίτας αἱ ἐνστρώσεις αἱ δραταὶ διὰ τοῦ γυμνοῦ δρφθαλμοῦ ἔχουν πάχος μικρότερον τοῦ 1 χλστ.

(β) Στρωματώδεις : Αἱ ἐνστρώσεις εἰς τοὺς λιγνίτας αὐτοὺς ἔχουν πάχος μεγαλύτερον τοῦ 1 χλστ.

(γ) Ἀστρωτοί : Εἰς τοὺς ἐν λόγῳ λιγνίτας οὐδεμίᾳ στρῶσις διακρίνεται.

(δ) Γαιώδεις : Οἱ ἐν λόγῳ λιγνῖται δὲν εἶναι συμπαγεῖς ἀλλὰ παρουσιάζονται ὑπὸ μορφὴν συγκριμάτων ἢ ἀκόμη καὶ ὑπὸ τὴν μορφὴν κόνεως.

(ε) Σαπροπηλοειδεῖς : Οἱ ἐν λόγῳ λιγνῖται παρουσιάζονται ὑπὸ τὴν μορφὴν σαπροπηλοῦ, ἐνίστε δὲ καὶ πλαστικοῦ ἀκόμη. Οἱ συμπαγεῖς, στρωματώδεις, λεπτοστρωματώδεις λιγνῖται κατὰ κανόνα εἶναι λίαν συνεκτικοὶ ἔως ἀπλῶς συνεκτικοί, σπανιώτερον δὲ εὐθριπτοί. Ἀντιστρόφως, οἱ γαιώδεις λιγνῖται κατὰ κανόνα εἶναι εὐθριπτοί.

‘Η ύφη τοῦ λιγνίτου, ὡς ἀναφέραμεν καὶ προηγουμένως, ἔχει ἀμεσον ἐπίδρασιν ἐπὶ τῆς ποιότητος αὐτοῦ. Οὕτως, οἱ λεπτοστρωματώδεις συνεκτικοὶ λιγνῖται κατὰ κανόνα παρουσιάζουν μικρότερον ποσοστὸν τέφρας, ἥτοι μικροτέραν περιεκτικότητα εἰς ἀνοργάνους ὄγαλας. Ἀντιθέτως οἱ σαπροπηλοειδεῖς λιγνῖται περιέχουν ὑψηλὸν ποσοστὸν ἀνοργάνων ὄγαλων (ὑψηλὸν ποσοστὸν τέφρας).

Τὸ κύριον ὑλικὸν ἐκ τῶν ἀνοργάνων εἶναι ἡ ἀργιλος. Αὕτη μακροσκοπικῶς δυνατὸν νὰ παρουσιάζεται εἰς ἐνστρώσεις, φακούς, κηλίδας, συγκρίματα.

Κατὰ κανόνα αἱ ἀργιλοι εἶναι ἀναμεμιγμέναι μετὰ δργανικῶν - χουμωδῶν ὑλικῶν.

Συχναὶ ἐπίσης εἶναι αἱ ἀμμοῦχοι ἢ ἀσβεστολιθικαὶ προσμίξεις. Αἱ τελευταῖαι δρείλονται εἰς τὴν παρουσίαν ἀσβεστικῶν ἢ — κυρίως — ἀσβεστολιθικῶν συγκριμάτων, ὑπολειμμάτων διστράκων μαλακίων ἢ εἰς ἐνστρώσεις ἀσβεστολιθικῆς ἔλυσις.

‘Αναλόγως τῆς περιεκτικότητος εἰς ἀργιλον ἡ ἀμμιον οἱ λιγνῖται ἔχαρακτηρίσθησαν, ὡς θὰ ἔδωμεν εἰς τὸ περὶ τῆς ποιότητος Κεφάλαιον, ὡς λίαν ἀσθενῶς ἀργιλοῦχοι — ἢ ἀμμοῦχοι ἀντιστοιχῶς — ἀσθενῶς ἀργιλοῦχοι, ἀργιλοῦχοι, ἰσχυρῶς ἀργιλοῦχοι καὶ τέλος λίαν ἰσχυρῶς ἀργιλοῦχοι.

‘Ο ξυλίτης σπανίζει ἐντὸς τοῦ λιγνίτου, δταν δὲ ὑπάρχει, διατάσσεται παραλλήλως πρὸς τὴν στρῶσιν.

Τὰ φυτικὰ λείψανα ἀφθονοῦν — φύλλα, καρποὶ κ.λ.π. —, καὶ διατάσσονται καὶ αὐτὰ παραλλήλως πρὸς τὴν στρῶσιν.

5.4. Τὸ ἐλειογενὲς ἀέριον ἐντὸς τοῦ κοιτάσματος.

Τόσον κατὰ τὸ πρῶτον στάδιον τῶν ἐρευνῶν (1958) ὅσον καὶ κατὰ τὸ δεύτερον (1960 - 63) καὶ τρίτον (1965 - 66) διεπιστώθη εἰς ἵκανὸν ἀριθμὸν γεωτρήσεων ἔκλυσις ἀερίων.

Πρὸς τοῦτο, κατὰ τὸ δεύτερον στάδιον τῶν ἐρευνῶν μετεκλήθη εἰδικὸς ἐπὶ τῶν ὑδρογονανθράκων, ὅστις συνέστησεν τὴν ἐκτέλεσιν ἐνὸς ἐλαχίστου ἀριθμοῦ γεωτρήσεων — πέντε — διὰ τὴν ἐκτέλεσιν μετρήσεων παροχῆς τῶν ἐν λόγῳ ἀερίων.

Μετὰ τὴν ἐκτέλεσιν τῶν ἐν λόγῳ γεωτρήσεων καὶ τὴν διεξαγωγὴν τῶν σχετικῶν δοκιμῶν καὶ μετρήσεων, πρόσκυψεν, ὅτι αἱ ἔκλυσις ποσότητες τῶν ἀερίων δὲν εἶναι δυνατὸν νὰ ἀποτελέσουν ἀντικείμενον ἔκμεταλλεύσεως.

Εἰς τὰς ὑφ' ἡμῶν ἐκτελεσθείσας γεωτρήσεις συνηντήθη ἀερίον εἰς τὴν γεωτρησιν 1/65 εἰς βάθος 33 μέτρων, εἰς τὴν γεωτρησιν 6/65 εἰς βάθος 24 μέτρων, καθὼς καὶ εἰς τὰς ἀκολούθους γεωτρήσεις: 7/65 εἰς βάθος 35 μ., 8/65 εἰς βάθος 37 μέτρων, 24/65 εἰς βάθος 30,5δ καὶ 82 μέτρων, 11/65 εἰς βάθος 80 μέτρων καὶ τέλος εἰς τὴν γεωτρησιν 15/65 εἰς βάθος 60 - 65 μέτρων περίπου.

Ἐκ τῶν ἀνωτέρω προκύπτει, ὅτι δὲν ὑφίσταται ἐκτεταμένον στρῶμα ἀερίων, ἀλλὰ θύλακες τοιούτων εἰς διάφορα βάθη.

Πιθανῶς πρόκειται περὶ ἀερίου ἐλειογενοῦς προελεύσεως, τὸ δποῖον μετηγάστευσεν ἐντὸς φακοειδοῦς μορφῆς ἀμμωδῶν θυλάκων, εἰς τὸν δποῖον καὶ συνεκεντρώθη. Τὸ ἐν λόγῳ ἀερίον, συνιστάμενον ἐκ CO₂, Μεθανίου, Ἀζώτου καὶ ὑδρογονανθράκων μεγαλυτέρου μοριακοῦ βάρους, ἐσχηματίσθη ἐντὸς τῶν λιγνιτοφόρων στρωμάτων.

Ἡ παρουσία τῶν ἐν λόγῳ ἀερίων δύναται νὰ ἀποτελέσῃ πηγὴν κινδύνων κατὰ τὴν ἔκμεταλλεύσιν τοῦ λιγνιτικοῦ κοιτάσματος.

Ἡ φυσικὴ ἔκλυσις τῶν ἀερίων, νομίζομεν, ὅτι θὰ πρέπει νὰ ἐπιδιωχθῇ, οὐα ἀποφευχθοῦν κατὰ τὴν ἔκμεταλλεύσιν ἐκρηξεῖς.

Εἰς ὅλας τὰς ἐκτελεσθείσας γεωτρήσεις, εἰς τὰς δποίας συνηντήθη ἐλειογενὲς ἀερίον, ἡ πίεσις τοῦ τελευταίου κατήρχετο μὲν μεγάλην ταχύτητα, ἐντὸς δὲ μερικῶν ὁρῶν ἔπαινεν ἡ ἔκλυσις τῶν ἀερίων. Μόνον εἰς τὴν γεωτρησιν 24/65 ἔκλυετο ἀερίον ἐπὶ μερικὰς ὥμερας.

Ἐν πάσει περιπτώσει, νομίζομεν, ὅτι θὰ ἔδει νὰ μελετηθῇ περαιτέρω τὸ πρόβλημα τοῦ ἐλειογενοῦς ἀερίου, διὰ τῆς ἐκτελέσεως γεωτρήσεων μεγαλυτέρου βάθους (κάτωθεν τοῦ I λιγνιτικοῦ δρίζοντος).

5.5. Γένεσις τοῦ λιγνίτου.

Εἶναι γνωστόν, ὅτι, συχνά, τῶν δρογενετικῶν φάσεων ἔπεται, εἰς ὀρισμένην γεωλογικὴν περίοδον, γένεσις δρυκτῶν ἀνθράκων.

Τοῦτο σημαίνει ὅτι κατὰ τὰς γεωλογικὰς ταύτας περιόδους πληροῦνται αἱ προϋποθέσεις διὰ τὴν δημιουργίαν αὐτῶν.

Αἱ ἐν λόγῳ προϋποθέσεις εἰναι αἱ κάτωθι :

- i Κλιματικαὶ συνθῆκαι κατάλληλοι διὰ τὴν ἀνάπτυξιν χλωρίδος, δυναμένης, ὑπὸ ὥρισμένας συνθήκας, νὰ δώσῃ τύφῳην καὶ ἐν συνεχείᾳ λιγνίτην.
- ii Τὰ φυτά, ἄτινα ἀποτελοῦν τὴν μητρικὴν ὕλην τοῦ λιγνίτου, μετὰ τὸν θάνατόν τους, θὰ ἔδει νὰ συγκεντρωθοῦν εἰς ὥρισμένας καταλλήλους θέσεις, εἰς τὰς ὅποιας θὰ λάβῃ χώραν ἡ ἐνανθράκωσις αὐτῶν.
- iii Τὰ συγκεντρωθόμενα εἰς ὥρισμένας θέσεις φυτικὰ λείψανα θὰ πρέπει νὰ ὑποστοῦν τὴν διεργασίαν τῆς ἐνανθράκωσεως· αὕτη λαμβάνει χώραν ἀναεροφίως καὶ κατὰ συνέπειαν αἱ μητρικαὶ ὕλαι τοῦ λιγνίτου θὰ πρέπει νὰ καλυφθοῦν ὑπὸ ἵζημάτων, ἵνα ἀποφευχθῇ ἡ δξειδωσις αὐτῶν, νὰ προστατευθοῦν ἀπὸ τὴν διάβρωσιν καὶ ἐνδεχομένως τὴν ἀνάφλεξιν.

”Ομεν, αἱ βασικαὶ προϋποθέσεις τῆς λιγνιτογενέσεως εἰναι ἡ ἀνάπτυξις χλωρίδος, ἡ συγκέντρωσις τῶν θνησκόντων φυτῶν εἰς καταλλήλους χώρους καὶ ἡ προστασία αὐτῶν ἵνα ὑποστοῦν τὴν διεργασίαν τῆς ἐνανθράκωσεως.

Εἰς τὴν περιοχὴν τοῦ κοιτάσματος Μαραθούστης, αἱ κλιματικαὶ συνθῆκαι, κατὰ τὸ Πλειστόκαινον, ἐπὶ μακρὰς περιόδους ὑπῆρξαν εὔνοϊκαὶ διὰ τὴν ἀνάπτυξιν πλουσίας χλωρίδος. Πράγματι, κατὰ τὰς θερμὰς περιόδους, ὅτε καὶ τὰ ἀτμοσφαιρικὰ καταχρημάτισματα ἥσαν πλούσια, ἀνεπτύχθη πλουσία βλάστησις, συγκειμένη ἐκ μονοκοτυλιδόνων, βασικῶς, φυτῶν, ἀναπτυχθέντων ἐντὸς μιᾶς ἀβαθοῦς λίμνης ἥ ἐντὸς τέλματος.

Παρὰ τὸ γεγονός ὅμως ὅτι ἐπὶ μακρὰν περίοδον ὑφίστανται κλιματικαὶ συνθῆκαι κατάλληλοι διὰ τὴν ἀνάπτυξιν τοιαύτης χλωρίδος, λιγνιτογένεσις δὲν ἐλάμβανε χώραν εἰμὴ ἀσυνεχῶς καὶ κατὰ μικρὰ γεωλογικὰ χρονικὰ διαστήματα.

Τοῦτο ὀφείλεται εἰς τὸ γεγονός, ὅτι ἡ συγκέντρωσις τῆς μητρικῆς ὕλης τοῦ λιγνίτου δὲν ὑπῆρξε συνεχής, ἐν ἀλλαις λέξεσιν δὲν ὑπῆρχεν συνεχῶς κατάλληλος χῶρος, ὅστις θὰ ἀπετέλει τὸν βιότοπον τῆς χλωρίδος ἥ ἐνθα θὰ ἐπληροῦντο καὶ αἱ ἔτεραι βασικαὶ προϋποθέσεις τῆς λιγνιτογενέσεως.

”Η ὑπαρξίς τοῦ καταλλήλου τούτου χώρου ἔξαρταται ἐκ τῆς σχέσεως : Βένδον φημιαδὴ τῆς σχέσεως μεταξὺ τῆς ταχύτητος ἀνόδου τοῦ ὑδροφόρου δρίζοντος πρὸς τὴν ταχύτητα ἵζηματογενέσεως.

Τοῦτο δὲ διότι, ἵνα ἀναπτυχθῇ ἡ χλωρὶς ἀπαιτεῖται ὥπως διατηρεῖται συνεχῶς εἰς μίαν ὑψηλὴν ἀλλὰ καὶ σταθερὰν στάθμην ὁ ὑδροφόρος δρίζων. Δεδομένου ὅμως ὅτι ἐντὸς τοῦ ἴδιου χώρου λαμβάνει χώραν καὶ ἵζηματογενέσις — ἀπόθεσις θνησκόντων φυτῶν καὶ ἐνδεχομένως ζωϊκῶν δργανισμῶν ἥ καὶ ἀνοργάνων ὕλῶν — ἵνα ἡ στάθμη τοῦ ὑδροφόρου δρίζοντος παραμένει σταθερά, θὰ πρέπει ὁ ὑπὸ τῶν ἵζημάτων καταλαμβανόμενος χῶρος νὰ ἀναπληροῦνται συνεχῶς, δηλαδὴ νὰ προσφέρεται συνεχῶς νέος χῶρος.

Τὸ τελευταῖον ἐπιτυγχάνεται διὰ τῆς συνεχοῦς σινικήσεως τῆς λεκάνης. Πλὴν ὅμως, ὁ προσφερόμενος συνεχῶς χῶρος θὰ πρέπει νὰ καταλαμβάνεται συνεχῶς ὑπὸ φυτικῶν λειψάνων. ”Ητοι θὰ πρέπει νὰ ὑφίσταται συνεχῶς ἰσορροπία

μεταξὺ τῆς ταχύτητος ἵζηματογενέσεως (Vφ) καὶ τῆς ταχύτητος ἀνόδου τοῦ ὑδροφόρου ὁρίζοντος (Vυδ) ἐν ἄλλαις λέξεσιν καὶ τῆς ταχύτητος συνιζήσεως.

“Οταν ἡ Vφ εἶναι μεγαλυτέρα τῆς Vυδ, τότε ἀποτίθενται ποτάμια ἢ χερσαῖα ἵζηματα.

“Οταν ἡ Vφ εἶναι μικροτέρα τῆς Vυδ, τότε ἀποτίθενται λιμναῖα ἢ ἐνίστε καὶ θαλάσσια ἵζηματα.

Ἐν πάσι περιπτώσει, αἱ συνθῆκαι εἶναι ἰδεώδεις, ὅταν ἡ στάθμη τοῦ ὕδατος εὑρίσκεται συνεχῶς ὀλίγον ὑψηλότερον τῆς ἐπιφανείας τοῦ ἔδαφους.

Ἡ ἴσορροπία ὅμως αὕτη ἐπιτυγχάνεται κατὰ κανόνα εἰς περιοχάς, αἴτινες, διὰ τεκτονικοὺς λόγους, χαρακτηρίζονται ἀπὸ κινητικότητα καὶ δὴ διαφορικὴν ἐν σχέσει πρὸς τὰς περιβαλλούσας ϕραστεδικὰς περιοχάς.

Τοῦτο ἀκριβῶς συνέβαινε καὶ εἰς τὴν περιοχήν μας, ἐνθα δὲ πυθμὴν τῆς λεκάνης εὑρίσκετο εἰς συνεχῆ ὑποχώρησιν.

Πολλάκις, ἡ ἴσορροπία μεταξὺ τῆς ταχύτητος ἀνόδου τῆς στάθμης τοῦ ὕδατος καὶ τῆς ταχύτητος ἵζηματογενέσεως, δὲν μεταφράζεται εἰς ἴσορροπίαν ἵζηματογενέσεως - συνιζήσεως, δοθέντος ὅτι καὶ ἔτεροι παράγοντες δύνανται νὰ διαδραματίσουν ϕυθμιστικὸν φόλον, ἐνίστε δὲ δίκην ἀσφαλιστικῆς δικλείδως, ὡς π. χ. ἡ ὑπαρξία ὄδῶν διαφυγῆς τοῦ ὕδατος.

Διὰ τὸν λόγον τοῦτον νομίζομεν, ὅτι, ἐν τελικῇ ἀναλύσει, ἡ ὑποχώρησις τοῦ πυθμένος τῆς λεκάνης — συνιζησις — ἀπλῶς εἶναι εἰς ἐκ τῶν παραγόντων ἐκείνων οἱ ὄποιοι ϕυθμίζουν τὴν ταχύτητα μετακινήσεως, θετικῶς ἢ ἀρνητικῶς, τῆς στάθμης τοῦ ὕδατος οὐχὶ ὅμως καὶ δὲ μοναδικός. Συνεπέιᾳ τούτου θεωροῦμεν ὡς βασικὴν προϋπόθεσιν τῆς τυφογενέσεως τὴν ἴσορροπίαν μεταξὺ τῆς ἀνόδου τῆς στάθμης εἰς τὴν λεκάνην καὶ τῆς ἵζηματογενέσεως καὶ ὅχι τῆς τελευταίας καὶ τῆς συνιζήσεως.

Κατὰ τὸν O. GOLD, ὁ λιγνίτης Μεγαλοπόλεως χαρακτηρίζεται γενικὰ ἐκ τῆς μικρᾶς περιεκτικότητος εἰς ἔξινίτην, καὶ τῆς παντελοῦς σχεδὸν ἐλλείψεως ξυλίτου. Ἡ περιεκτικότης ἀντιθέτως εἰς Νετρινίτην εἶναι μετρία ἔως ὑψηλή, ἐνῷ ἀφθονεῖ ὁ Ντοπλερινίτης.

Ἐκ τούτων, ἡ σπάνις εἰς ξυλίτην, ἐν συνδιασμῷ πρὸς τὴν μεγάλην περιεκτικότητα εἰς ἀνοργάνους ἐνώσεις, ἔρμηνεύεται ἐκ τῆς λιμναίας τελματώδους προελεύσεως τοῦ λιγνίτου. Τοῦτο ἐπιβεβαιοῦται ἀκόμη καὶ ἐκ τῆς παρουσίας τοῦ ἀλγινίτου.

Ἡ μεγάλη περιεκτικότης εἰς ντοπλερινίτην μαρτυρεῖ σινθήκας ὑγρὰς καὶ ἀναεροφίους, ἐνῷ ὑπὲρ τῶν τελευταίων συνηγορεῖ καὶ ἡ παρουσία χλωροφύλλης καὶ σιδηροπυρίτου, δοθέντος ὅτι δὲ τελευταῖος δεξειδοῦται εὐκόλως ὑπὸ ἀεροφίους συνθήκας.

Αἱ συχνοὶ ἐναλλαγαί, αἴτινες παρατηροῦνται εἰς τὰς τομὰς τῶν γεωτρήσεων, ἐκ λιγνίτου, περιέχοντος ποικίλην ποσότητα ἀνοργάνων ὑλῶν — ὅπερ ἔχει ὡς συνέπειαν τὴν ἴσχυρὰν κύμανσιν τῶν τιμῶν τέφρας — καὶ ἀνοργάνων ὑλῶν — ἐνίστε δὲ ἀκόμη καὶ ἀσβεστολιθικῆς ὑλῆς — δεικνύουν, ὅτι ἐντὸς τοῦ τέλματος ἡ στάθμη τοῦ ὕδατος μετεβάλλετο συχνά, ἀκόμη δὲ τὸ τέλμα μετετρέπετο καὶ εἰς

λίμνην (ἀπόθεσις ἀργίλων - μαργῶν). Ὁσάκις ἐπετυγχάνοντο συνθῆκαι ἀβαθοῦς ἔλοις — καὶ τοῦτο φαίνεται ὅτι συνέβη περισσοτέρας φοράς, πλὴν ὅμως βασικῶς τρεῖς φοράς διήρκεσαν, αἱ συνθῆκαι αὗται, ἐπὶ μακροτέραν περίοδον (δι' ὃ καὶ οἱ τρεῖς λιγνίτικοὶ ὄρεῖσοντες) — ἀνεπτύσσετο γενικῶς ἡ χλωρὶς ἐκείνη, ἐκ τῆς ὁποίας, διὰ καταλλήλου διεργασίας, προέκυψεν ἡ τύφφη, ἀρχικῶς καὶ ἐν συνεχείᾳ δὲ λιγνίτης.

5.6. Ἡ ποιότης τοῦ λιγνίτου.

5.6.1. Υγρασία.

Ο προσδιορισμὸς τῆς ὑγρασίας ἐγένετο ἐπὶ τοῦ συνόλου τῶν ληφθέντων δειγμάτων (1069), διὰ τῆς μεθόδου τῆς ξυλόλης, ἦτοι διὰ συναποστάξεως ὀρισμένης ποσότητος δείγματος μετὰ ξυλόλης, εἰς συσκευὴν φέρουσαν κάθετον ψυκτήρα καὶ βαθμολογημένον ὑποδοχέα.

Π Ι Ν Α Ζ 2 ΜΕΣΑΙ ΤΙΜΑΙ ΥΓΡΑΣΙΑΣ ΚΑΙ ΤΕΦΡΑΣ ΑΝΑ ΓΕΩΤΡΗΣΙΝ

ΑΡΙΘΜΟΣ ΓΕΩΤΡΗΣΙΟΥ	ΥΓΡΑΣΙΑ ΣΕ ΛΑΗΘΕΝ %	ΤΙΜΑ ΠΙ ΛΑΗΘΕΝ %	ΤΙΜΑ ΛΟΙ ΕΠΟΥ Λ%
1/65	59.7	15.6	58.7
2/65	61.5	15.6	40.2
5/65	59.2	17.2	42.0
4/65	61.7	12.8	36.3
5/65	61.2	13.5	36.9
6/65	56.9	16.4	38.1
7/65	56.2	16.7	38.0
8/65	60.2	14.5	36.4
9/65	63.3	14.1	38.3
10/65	59.0	14.7	35.8
11/65	61.8	14.6	38.5
12/65	58.5	15.2	36.7
13/65	58.6	14.5	35.8
14/65	62.2	13.9	36.9
15/65	64.5	13.6	38.4
16/65	63.1	14.1	38.3
17/65	63.9	12.9	35.6
18/65	61.1	13.5	35.5
19/65	61.5	14.9	38.5
20/65	62.5	14.7	38.5
21/65	63.8	10.6	31.1
22/65	60.6	15.6	38.7
23/65	60.7	13.7	34.6
24/65	58.7	15.6	37.3
25/65	58.9	14.2	35.4
26/65	58.7	15.6	32.9
27/65	57.5	15.8	37.0
28/65	57.2	14.5	33.9

Ἡ ὑγρασία «ῶς ἐλήφθη» τῶν δειγμάτων, τῶν θεωρηθέντων ὡς λιγνίτου, κυμαίνεται μεταξὺ 45.6 %, καὶ 72.0 %, τῆς μέσης τιμῆς ἀνεῳχομένης εἰς 60.3 %.

Ἡ κατανομὴ τῶν δειγμάτων, συμφώνως πρὸς τὴν περιεκτικότητα εἰς ὑγρασίαν, ἐμφαίνεται εἰς τὸ σχῆμα 4. Τὰ ποσοστὰ ἐξήχθησαν διὰ σύνολα δειγμάτων, περιεκτικότητος εἰς ὑγρασίαν διαφερούσης κατὰ 3 %, ἐντὸς τῶν δριακῶν τιμῶν 45.6 % καὶ 72.0 %. Ἐκ τῆς μελέτης τοῦ διαγράμματος προκύπτει, ὅτι ὁ μεγαλύτερος ἀριθμὸς δειγμάτων ἔχει ὑγρασίαν ὡς ἐλήφθη, κυμαινομένην περὶ τὸ 60 %.

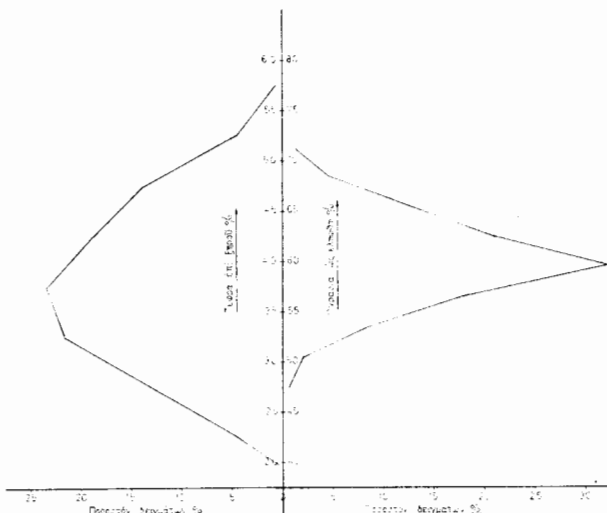
Ἡ εἰς ὑγρασίαν περιεκτικότης εἶναι συνάρτητος τῆς εἰς τέφραν περιεκτικότητος καὶ τοῦ βάθους τοῦ δείγματος.

Γενικῶς, ἡ ὑγρασία ἐνὸς δείγματος εἶναι ἀντιστρόφως ἀνάλογος τῆς περιεχομένης τέφρας ἐπὶ ξηροῦ, λόγῳ διαφορᾶς εἰδικοῦ βάρους καὶ πορώδους μεταξὺ λιγνίτου καὶ ἀνοργάνων ὑλικῶν, ἀφ' ἐνὸς καὶ ὑποκαταστάσεως μέρους τοῦ ἐμπεριεχομένου εἰς τὸν λιγνίτην

ἥδατος ὑπὸ ἀγόνων ἀφ' ἐτέρου, προκειμένου δὲ περὶ δειγμάτων τῆς ἰδίας περίπου τέφρας ἐπὶ ξηροῦ, ἡ ὑγρασία μειούται μετὰ τοῦ βάθους, λόγῳ τῆς αὐξήσεως τοῦ βαθμοῦ διαγενέσεως.

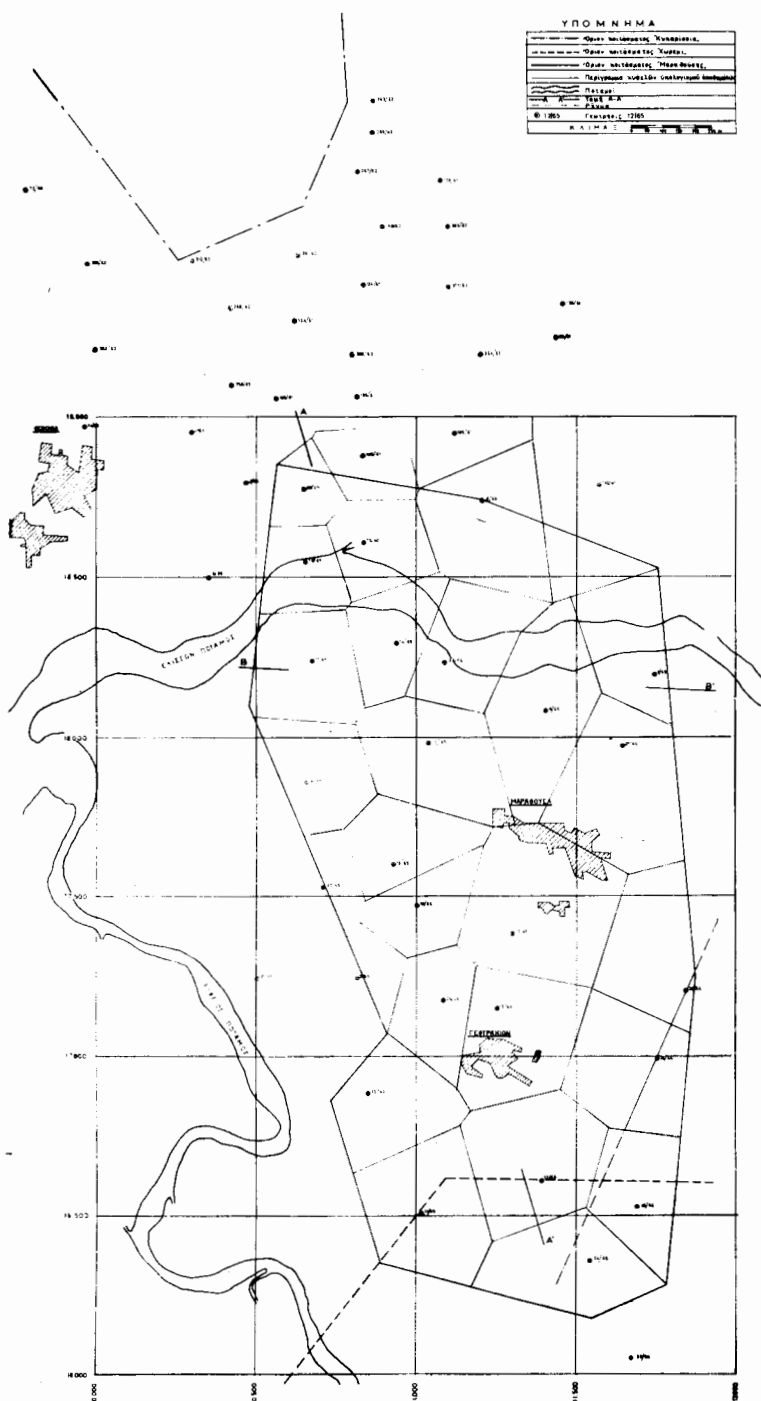
5. 6. 2. Τέφρα.

Ό η προσδιορισμὸς τῆς τέφρας ἐγένετο, ὡς προκειμένου καὶ περὶ τῆς ὑγρασίας, ἐπὶ τοῦ συνόλου τῶν ληφθέντων δειγμάτων, συμφώνως πρὸς τὰς γερμανικὰς προδιαγραφὰς DIN 51719, ἵτοι δι' ἀποτεφρώσεως ἐντὸς κλιβάνου, τύπου Heraeus καὶ εἰς θερμοκρασίαν $775^{\circ} \pm 25^{\circ}$ C, ποσότητος 1 γραμ. περίπου δείγματος, διερχομένου διὰ κοσκίνου No 60 καὶ ζυγισθέντος μὲ ἀκρίβειαν ± 0.0001 γραμ.



Σχ. 10. Διάγραμμα κατανομῆς τῶν δειγμάτων ἐκμεταλλευσίμου λιγνίτου, ὡς πρὸς τὴν περιεκτικότητα εἰς ὑγρασίαν καὶ τέφραν

Ἡ οὕτω προσδιοριζομένη τέφρα, διαφέρει, συνήθως, ἀρκετὰ καὶ κατὰ τὸ ποσὸν καὶ κατὰ τὴν σύστασιν, ἀπὸ τὴν ἀρχικῶς περιεχομένην εἰς τὸν λιγνίτην ἀνόργανον ὄλην. Δυνάμεθα νὰ εἴπωμεν, ὅτι, γενικῶς, τὸ ποσὸν τῆς τέφρας εἶναι μικρότερον ἀπὸ τὸ ποσὸν τῆς ἀνοργάνου ὄλης, καθ' ὅσον ἡ ἀργιλος καὶ οἱ ἀργιλικοὶ σχιστόλιθοι χάνουν τὸ χημικῶς ἡνωμένον ὄνδωρ, καθ' ὅν χρόνον τὰ ἀνθρακικὰ καὶ θειικὰ ἄλατα χάνουν μέρος ἢ δὲλον τὸ CO₂, καὶ SO₂, ἀντιστοίχως, καὶ τὰ θειικὰ ἄλατα τοῦ σιδήρου χάνουν ἔνα μέρος τοῦ βάρους των, καθ' ὅσον κατὰ τὴν καῦσιν τὸ θεῖον ἀντικαθίσταται ὑπὸ δξυγόνου. Δὲν ὑπάρχει γενικῶς παραδεκτὴ μέθοδος διὰ τὸν προσδιορισμὸν τοῦ ποσοῦ τῶν ἀνοργάνων συστατικῶν ἐκ τῆς τέφρας (καὶ τῆς στοιχειακῆς ἀναλύσεως) ἀλλὰ τὸ σφάλμα τὸ προκύπτον ἐκ τῆς χρησιμοποιήσεως ἐνὸς τύπου, ὡς ἐκεῖνος τοῦ PARR, εἶναι συνήθως μικρόν, ἐκτὸς τῆς περιπτώσεως καθ' ἣν ὁ λιγνίτης περιέχει μεγάλον ποσοστὸν ἀνθρακικῶν καὶ θειίου (W. FRANCIS 1961, σελ. 106).



Σχ. 11. Το λιγνιτικόν πεδίον Μαραθούσης.

Οίσεις τῶν λιγνιτικῶν γεωτρήσεων καὶ τὰ πολύγωνα Thiessen.
Επιμετρικό Βιβλιοθήκη "Θεόφραστος" - Τμήμα Γεωλογίας. Α.Π.Θ.

Τοῦτο ἐμφαίνεται ἀπὸ τὸν τύπον τοῦ PARR, ἐνθα :

$$M = 1,08 A + 0,55 S$$

ὅπου :

M : ἀνόργανος ὅλη εἰς τὸν λιγνίτην τοῖς %

A : τέφρα τοῖς %

S : δίλικὸν θεῖον τοῖς %.

Ἐκ τοῦ ἀνωτέρῳ τύπου συνάγεται, ὅτι ἡ τέφρα ἐμφανίζεται σημαντικῶς ἥλαττωμένη ἔναντι τῆς εἰς τὸν λιγνίτην ἀρχικῶς περιεχομένης ἀνοργάνου ὅλης.

Δεδομένου ὅτι ἡ τέφρα ἐνὸς δείγματος ἐν φυσικῇ καταστάσει ἔξαρταται οὐχὶ μόνον ἐκ τῆς ποιότητος, ἀλλὰ καὶ ἐκ τῆς περιεκτικότητος εἰς ὑγρασίαν αὐτοῦ τούτου τοῦ δείγματος, ἡ ἀξιολόγησις τῶν δειγμάτων ἐγένετο βάσει τῆς περιεκτικότητος εἰς τέφραν ἐπὶ ἔηροῦ, δηλαδὴ ἐπὶ ὑλικοῦ ἀπηλλαγμένου ὑγρασίας.

Κύριοι φορεῖς τῆς τέφρας εἶναι αἱ ἄργιλοι, αἱ ἄμμοι, αἱ μᾶργαι καὶ οἱ πυρίται.

Τὸ μεγαλύτερον μέρος τῶν ἀνοργάνων προσμίξεων εἶναι διμοιογενῶς καὶ λεκτομερῶς κατανεμημένον ἐντὸς τῆς ὁργανικῆς ὅλης, οὕτως ὥστε δὲν θὰ πρέπει νὰ ἀναμένεται βελτίωσις τῆς ποιότητος τοῦ λιγνίτου ἐξ ἀπομακρύνσεως μέρους τῆς ἀνοργάνου ὅλης διὰ μηχανικῶν μέσων. Κατὰ GOLD δὲν εἶναι δυνατὸν νὰ ἐπιτευχθῇ ἀξιόλογος μείωσις τῆς τέφρας, εἴτε διὰ κοκκομετρικῆς ἀναλύσεως (grinding and screening), εἴτε δι᾽ ἐπιπλεύσεως.

Ἡ τέφρα ἐπὶ ἔηροῦ τῶν δειγμάτων τοῦ ὡς ἄνω ἀποληψύμου θεωρηθέντος λιγνίτου κυμαίνεται μεταξὺ 18.4 %, καὶ 60 %, τῆς μέσης τιμῆς ἀνερχομένης εἰς 36.7 %. Ἡ κατανομὴ τῶν δειγμάτων, συμφώνως πρὸς τὴν περιεκτικότητα εἰς τέφραν ἐπὶ ἔηροῦ, ἐμφαίνεται εἰς τὸ σχῆμα 10. Ὡς προκύπτει ἐκ τοῦ διαγράμματος τούτου, ἡ μεγαλυτέρα συγκέντρωσις δειγμάτων παρατηρεῖται εἰς τὴν περιοχὴν 35 - 40 %.

Οὐ πολογισμὸς τῶν μέσων τιμῶν τέφρας ἐπὶ ἔηροῦ ἐγένετο, διὰ λόγους συγκρίσεως, ὡς καὶ ὑπὸ τοῦ Γραφείου O. GOLD κατὰ τὴν ἐκπόνησιν τῆς προμελέτης τοῦ κοιτάσματος Μεγαλοπόλεως. Ὡς μέση δηλαδὴ τέφρα ἐπὶ ἔηροῦ ἐθεωρήθη δὲ λόγος, τοῦ ἀθροίσματος τῶν γινομένων τῶν τιμῶν τέφρας ἐπὶ ἔηροῦ, ἐπὶ τὸ μῆκος πυρηνος ἐκάστου τῶν ἐπὶ μέρους δειγμάτων, διὰ τοῦ ἀθροίσματος τῶν μηκῶν τῶν πυρήνων, ἦτοι :

$$T_{\xi\mu} = \frac{T_{\xi_1} \cdot L_1 + T_{\xi_2} \cdot L_2 + \dots + T_{\xi_v} \cdot L_v}{L_1 + L_2 + \dots + L_v} \quad (1)$$

ἔνθα : $T_{\xi_1}, T_{\xi_2}, \dots, T_{\xi_v}$ = Τέφρα ἐπὶ ἔηροῦ τῶν ἐπὶ μέρους δειγμάτων

L_1, L_2, \dots, L_v = Τὰ μήκη πυρήνων τῶν ἀντιστοίχων δειγμάτων ἐν φυσικῇ καταστάσει.

‘Ο τρόπος ὅμως οὗτος ὑπολογισμοῦ τῆς τέφρας ἐπὶ ξηροῦ ὁδηγεῖ εἰς ἐσφαλ-
μένα ἀποτελέσματα, καθ’ ὅσον, ἡ μὲν τέφρα ἀναφέρεται ἐπὶ δείγματος ἐν ξηρᾷ
καταστάσει, τὸ δὲ μῆκος πυρῆνος ἐπὶ δείγματος ἐν φυσικῇ καταστάσει. Τὸ δρῦδν
θὰ ἦτο ὅπως καὶ ἡ τέφρα ἀναφέρεται ἐπὶ δείγματος ἐν φυσικῇ καταστάσει, ὅτε
δηλαδὴ θὰ ὑπελογίζετο ἡ μέση τέφρα ἐν φυσικῇ καταστάσει, ἀκολούθως δὲ ἔξ
αὐτῆς καὶ τῆς μέσης ὑγρασίας θὰ ὑπελογίζετο ἡ μέση τέφρα ἐπὶ ξηροῦ. Τὸ προ-
κύπτον σφάλμα εἶναι κατὰ κανόνα ἐπὶ ἔλαττον, καθ’ ὅσον τὰ καλυτέρας ποιότητος
ὅλικὰ παρουσάζουν μεγαλυτέραν περιεκτικότητα εἰς ὑγρασίαν (ἡ τέφρα καὶ ἡ
ὑγρασία εἶναι ἀντιστρόφως ἀνάλογα ποσὰ) καὶ ἐπομένως μικροτέραν σχετικῶν
τέφραν ἐν φυσικῇ καταστάσει, ὡς ἐμφαίνεται ἐκ τοῦ τύπου :

$$T_{\varphi x} = T_{\xi} \frac{100 - y}{100}$$

Οὕτως, εἰς τὸν τύπον (1) τὰ καλυτέρας ποιότητος δείγματα ἔχουν εἰσέλθει
διὰ μεγαλυτέρου, τοῦ πραγματικοῦ, συντελεστοῦ, ἔναντι τῶν κατωτέρας ποιότητος.
Τὸ προκύπτον σφάλμα εἶναι ἀνάλογον τῶν διαφορῶν μεταξὺ τῶν τιμῶν τέφρας
ἐπὶ ξηροῦ τῶν ἐπὶ μέρους δειγμάτων.

Ἐκ παραλλήλου ὑπολογισμοῦ τῆς μέσης τέφρας ἐπὶ ξηροῦ ἐνὸς μεγάλου
ἀριθμοῦ δειγμάτων καὶ διὰ τῶν δύο μεθόδων, συνήχθη τὸ συμπέρασμα, ὅτι τὸ
σφάλμα κατὰ τὸν ὑπολογισμὸν τῆς τέφρας ἐπὶ ξηροῦ, ἐκ τοῦ λόγου τούτου, εἶναι
τῆς τάξεως τοῦ 1 %.

Κατὰ τὸν ὑπολογισμὸν ὅμως τῆς τέφρας ἐπὶ ξηροῦ, ἔστω καὶ μέσω τῆς τέ-
φρας ἐν φυσικῇ καταστάσει, ὑπεισέρχεται καὶ ἔτερον σφάλμα, ἐκ τοῦ γεγονότος
ὅτι δὲν λαμβάνεται ὅπ’ ὅψιν, ὡς θὰ ὥφειλεν, τὸ φαινόμενον εἰδικὸν βάρος τῶν
ἐπὶ μέρους δειγμάτων. Γνωστοῦ ὅντος ὅτι δὲ καλυτέρας ποιότητος λιγνίτης ἔχει
φαινόμενον εἰδικὸν βάρος μικρότερον ἐκείνου τοῦ κατωτέρας ποιότητος, γίνεται
ἀντιληπτόν, ὅτι μὴ λαμβανομένου ὅπ’ ὅψιν τοῦ φαινομένου εἰδικοῦ βάρους τῶν
ἐπὶ μέρους δειγμάτων, τὰ καλυτέρας ποιότητος δείγματα εἰσέρχονται εἰς τὸν τύπον
(1) δι’ εὐνοϊκωτέρου πάλιν συντελεστοῦ, ἔναντι τῶν κατωτέρας ποιότητος, δπότε
τὸ σφάλμα ἐμφανίζεται πάντοτε ἐπὶ ἔλαττον.

Τὸ ἐκ τοῦ λόγου τούτου σφάλμα εἶναι πρακτικῶς ἀδύνατον νὰ ἀντιμετωπι-
σθῇ, διότι εἶναι, βεβαίως, δύσκολον νὰ ὑπολογίσωμεν τὸ εἰδικὸν βάρος ἀπάντων
τῶν ἐπὶ μέρους δειγμάτων.

Κατόπιν ἐργαστηριακῶν δοκιμῶν, ἣς ἔξετελέσαμεν, ἐπὶ μιᾶς σειρᾶς δειγμά-
των, ἥχθημεν εἰς τὸ συμπέρασμα, ὅτι τὸ ὡς ἄνω σφάλμα ἀνέρχεται εἰς 0.5 %
περίπου, ὡς πρὸς τὴν μέθοδον ὑπολογισμοῦ τῆς μέσης τέφρας ἐπὶ ξηροῦ, δι’ ὑπο-
λογισμοῦ πρῶτον τῆς μέσης ὑγρασίας καὶ τῆς μέσης τέφρας ἐν φυσικῇ καταστά-
σει καὶ εἰς 1.5 % περίπου ἔναντι τῆς μέσης τέφρας ἐπὶ ξηροῦ, τῆς ὑπολογιζομένης
ἀπ’ εὐθείας ἐκ τῆς τέφρας ἐπὶ ξηροῦ τῶν ἐπὶ μέρους δειγμάτων (τύπος 1).

‘Ο δρόμος τύπος ύπολογισμοῦ τῆς μέσης τέφρας ἐπὶ ξηροῦ θὰ ἔδει δπως διαμορφωθῇ ὡς κατωτέρω :

$$T_{\xi\mu} \% = \frac{T_{(\varphi\kappa)_1} \cdot L_1 \cdot D_1 + T_{(\varphi\kappa)_2} \cdot L_2 \cdot D_2 + \dots + T_{(\varphi\kappa)_v} \cdot L_v \cdot D_v}{L_1 \cdot D_1 \cdot (100 - y_1) + L_2 \cdot D_2 \cdot (100 - y_2) + \dots + L_v \cdot D_v \cdot (100 - y_v)} \cdot 100$$

η̄

$$T_{\xi\mu} \% = \frac{T_1 \cdot L_1 \cdot D_1 \cdot (100 - y_1) + T_2 \cdot L_2 \cdot D_2 \cdot (100 - y_2) + \dots + T_v \cdot L_v \cdot D_v \cdot (100 - y_v)}{L_1 \cdot D_1 \cdot (100 - y_1) + L_2 \cdot D_2 \cdot (100 - y_2) + \dots + L_v \cdot D_v \cdot (100 - y_v)}$$

ἔνθα : $T_{(\varphi\kappa)_v}$, T_v , L_v , D_v , y_v , ἀντιστοίχως, ἢ τέφρα ἐπὶ ξηροῦ, τὸ μῆκος, τὸ φαινόμενον εἰδικὸν βάρος καὶ ἡ ὀλικὴ ὑγρασία ἐν φυσικῇ καταστάσει, τοῦ νιοστοῦ πυρῆνος.

Ἐτεροι προσδιορισμοί, πλὴν ἐκείνων τῆς ὑγρασίας καὶ τῆς τέφρας, δὲν ἔξετελέσθησαν, ἀφ' ἐνὸς διότι τὸ ἐπὶ τόπου τῶν ἔργων χημικὸν ἔργαστήριον δὲν διέθετε τὰ ἀναγκαιοῦντα ὅργανα, ἀφ' ἐτέρου δὲ καὶ κυρίως, διότι δὲν ἔζητήθησαν ὑπὸ τοῦ Τεχνικοῦ Συμβούλου.

6. ΤΑ ΑΠΟΘΕΜΑΤΑ

‘Ο ύπολογισμὸς τῶν ἀποθεμάτων ἐγένετο διὰ τῆς μεθόδου τῶν πολυγώνων Thiessen διὰ τὸ σύνολον τῶν λιγνιτικῶν στρωμάτων.

‘Ως βέβαια μὲν ἀποθέματα ἐθεωρήθησαν τὰ ύπολογισθέντα ἐπὶ τῇ βάσει τοῦ διαπιστωθέντος συνολικοῦ πάχους λιγνίτου ἑκάστης γεωτρήσεως, ἀπασῶν τῶν ἀπωλειῶν θεωρηθεισῶν ὡς ἀγόνων ὑλικῶν (Πίναξ 3), ὡς πιθανὰ δὲ ἐκεῖνα διὰ τὸν ύπολογισμὸν τῶν δποίων αἱ ἀπώλειαι μεταξὺ λιγνιτικῶν στρωμάτων ἐθεωρήθησαν ὡς λιγνίτης.

Κατὰ τὴν ἀξιολόγησιν τῶν γεωτρήσεων ἐλήφθησαν ὑπὸ ὅψιν τὰ δείγματα τὰ ἔχοντα τέφραν ἐπὶ ξηροῦ ($T\xi$) $\leq 50\%$, ἐκτὸς τῆς περιπτώσεως, καθ' ἥν, κατὰ τὴν περιγραφήν, εἶχον χαρακτηρισθῆ μακροσκοπικῶς ὡς ἀγονον ὑλικόν, ἢ εἶχον μῆκος μικρότερον τῶν 40 ἑκ. καὶ περιεβάλλοντο ὑπὸ ἀγόνων. Ἐπίσης ἐλήφθη ὑπὸ ὅψιν, κατὰ τὴν ἀξιολόγησιν, ἔνας μικρὸς ἀριθμὸς δείγματων $T\xi = 50—60\%$, ἐφ' ὅσον περιεβάλλοντο ὑπὸ λιγνιτικῶν στρωμάτων καὶ ὑπὸ τὴν προϋπόθεσιν ὅτι τὸ προκύπτον μῆγμα θὰ εἰχε $T\xi \leq 50\%$ καὶ ἐλάχιστα δείγματα $T\xi = 50—70\%$, ἐφ' ὅσον ἡσαν μήκους < 40 ἑκ. καὶ περιεβάλλοντο ὑπὸ λιγνιτικῶν στρωμάτων, ὑπὸ τὴν προϋπόθεσιν πάντα ὅτι τὸ προκύπτον μῆγμα θὰ εἰχε $T\xi \leq 50\%$.

Δείγματα $T\xi > 50\%$ καὶ περιβαλλόμενα ὑπὸ ἀγόνων, ὡς καὶ δείγματα $T\xi > 60\%$ καὶ μήκους > 40 ἑκ. ἔστω καὶ ἀν περιεβάλλοντο ὑπὸ λιγνιτικῶν στρωμάτων, ἐθεωρήθησαν οὕτως ἢ ἀλλως ἀγονον ὑλικόν.

Π Ι Ν Α Ε 3

ΒΕΒΑΙΑ ΑΠΟΘΕΜΑΤΑ ΛΙΓΝΙΤΟΥ

ΑΡΙΘΜ. ΕΓΓΙΓ.	ΙΠΠΟΔΑΣΙΑ ΕΥΦΩΛΗ ΔΩΡ.	ΙΝΥΝΔΙΑΙΩΝ ΠΑΧΟΙ ΕΞΟΥΣΙΟΝ ΤΑΙΧΟΝΗ ΑΓΓΙΤΙΚΗΣ ΑΓΩΝΑ	ΟΓΓΩΙ ΛΕΩΦΥΛΙΟΜΕΝΗΡ ΥΑΙΙΒΙΩΝ 10^3 ΑΓΓΙΤΙΚΗΣ ΑΓΩΝΑ	ΣΧΙΣΙΣ ΑΓΩΝΩΝ ΠΡΟΣ ΛΙΓΝΙΤΙΝΑ (Α.Α) ΕΑΤΙΧΟΝΗ ΟΤΕΛΙ ΒΑΡΟΥ
4765	9.1.9	19.2.4	53.5.9	17.6.8.5
4865	15.6.2.7	18.5.4	5.5.8.2	2.5.2.6
4965	15.5.1.1	2.5.4.9	5.6.0.8	3.8.9.6
5065	8.5.5.2	2.1.8.8	6.5.1.6	2.0.5.7.0
5165	14.1.9.6	2.0.5.5	4.4.8.2	2.9.1.4.4
5265	3.0.4.8	1.2.5.3	6.2.8.4	3.8.1.8
5365	19.1.3.3	2.2.3.9	8.4.5.1	4.2.8.3.9
5465	14.5.1.8	19.6.9	5.7.8.8	2.8.2.9.1
5565	14.8.4.6	2.4.4.5	8.6.3.3	3.6.2.9.3
5665	15.0.3.6	3.0.9.1	7.0.1.9	4.0.2.9.4
5765	7.8.6.3	2.3.5.2	3.9.5.8	2.0.1.8.2
5865	4.5.4.5	2.0.1.2	5.7.6.3	8.7.4.2
5965	6.2.5.6	7.8.1.5	4.0.8.7	1.1.8.5.5
6065	10.6.7.0	14.8.1	6.1.5.2	1.9.8.0.2
6165	7.2.3.4	19.0.5	6.5.1.2	1.3.7.8.1
6265	8.5.0.9	2.7.1.4	5.7.0.8	2.3.0.8.5
6365	3.1.3.9	1.8.0.8	5.5.1.1	4.1.0.6
6465	10.4.1.9	1.7.8.1	6.0.7.8	1.8.6.6.0
6565	10.4.4.2	2.2.9.2	4.7.0.8	2.3.9.5.3
6665	12.2.5.0	2.4.5.9	6.9.8.2	2.9.8.7.8
6765	7.9.1.7	2.8.0.0	6.2.8.3	2.2.1.6.8
6865	12.8.0.8	2.5.4.6	8.4.7.6	3.2.6.0.9
6965	16.9.4.9	2.1.0.1	7.2.5.9	5.5.6.0.9
7065	11.6.2.5	1.8.9.8	9.5.3.1	2.2.0.7.6
7165	9.1.7.2	(31.5.0)	(9.2.5.0)**(2.8.8.5.2)	(18.6.8.4.11) (2.9.5.11)
7265	7.8.7.2	(2.5.0.0)	(8.4.7.0)	(1.9.6.8.0) (2.7.9.1.61) (1.9.9.11) (1.2.6.11)
ΙΝΤΗΝΗ	2.7.5.8.8		610.67.4	177.5.9.8.6

Τὰ βέβαια ἀποθέματα τοῦ πεδίου «Μαραθούσα» Μεγαλοπόλεως συμποσοῦνται, κατόπιν τῶν ἀνωτέρω, εἰς 61.000.000 κ. μ. ἢ 67.000.000 τόν., τοῦ φαινούμενου εἰδικοῦ βάρους τοῦ λιγνίτου ληφθέντος ὡς 1,1 gr/cm³. Τὰ πιθανὰ ἀποθέματα ὑπελογίσθησαν εἰς 6.000.000 κ. μ. ἢ 6.600.000 τόν.

Τέλος, ὁ ὅγκος τῶν ἔξιρυσσομένων ἀγόνων ὑλικῶν ἀνέρχεται εἰς 177.000.000 κ. μ.

7. ΑΝΑΚΕΦΑΛΑΙΩΣΙΣ

Τὰ ἐκτεθέντα εἰς τὰς προηγηθείσας παραγράφους ἀποτελέσματα τῆς διεξαχθείσης ἐρεύνης καὶ τὰ ἔξι αὐτῆς προκύψαντα συμπεράσματα συνοψίζονται ὡς κατωτέρω :

1. Αἱ ἐκτελεσθεῖσαι 28 γεωτρήσεις, συνολικοῦ μήκους 2713 μέτρων, παρέμειναν ἐντὸς τοῦ Πλειστοκαίνου. Τὰ παλαιότερα διαπιστωθέντα στρώματα ἦσαν τὰ ἀνήκοντα εἰς τὴν βαθμίδα Ἀπιδίτισης, ἄτινα ἀποτελοῦν τὸ γεωλογικὸν δάπεδον τοῦ λιγνίτου.
2. Διεπιστώθη ἡ ὑπαρξία εἰς τὴν περιοχὴν Μαραθούσης τριῶν λιγνιτικῶν δοριζόντων, χωριζομένων ἀπ' ἀλλήλων ὑπὸ ἀγόνου ἐνδιαμέσου ὑλικοῦ. Τοῦτο σημαίνει, ὅτι εἰς τὴν ἐν λόγῳ περιοχήν, τῆς ὅποιας ὁ πυθμὴν

ενδισκεται υπό συνεχή υποχώρησιν άπό τού τέλους τοῦ Πλειοκαίνου (:), έπεικράτουν συνθήκαι ἄλλοτε ἀβαθοῦς τέλματος καὶ ἄλλοτε χέρσου, ἐνῷ τρεῖς φοράς ἐπετεύχθη ἐπὶ μακρότερον χρόνον ἵσορροπία μεταξὺ τῆς ταχύτητος ἵηματογενέσεως καὶ τῆς ταχύτητος ἀνόδου τῆς στάθμης τοῦ ὑδροφόρου δρίζοντος, μὲ ἀποτέλεσμα νὰ δημιουργηθοῦν οἱ τρεῖς λιγνιτικοὶ δρίζοντες, ἐκ τῶν ὅποιων ὁ ἀνώτερος συχνὰ δὲν συνηντήθη ύπὸ τῶν γεωτρήσεων, καθ' ὅτι ἔχει διαβρωθῆ.

3. Δούμεντος ὅτι τὸ ποσοστὸν συμμετοχῆς ἄμμου ἐντὸς τῶν λιγνιτικῶν ἀποθέσεων αὐξάνει, εἰς βάρος τοῦ ποσοστοῦ συμμετοχῆς τῆς ἀργύλου, ἐκ NNA/κῆς κατευθύνσεως πρὸς BBΔ/κὴν τοιαύτην, περαινεται, ὅτι ἡ τροφοδοσία τοῦ λιγνιτικοῦ κοιτάσματος ἐγένετο ἐκ BBΔ/κῆς κατευθύνσεως.
4. Παρετηρήθη πλευρικὴ μετάβασις — κυρίως κατὰ διεύθυνσιν Α-Δ ἔως NA-BΔ — ἐνίοτε ποιοτική, συχνὰ ὅμως καὶ ἐκ τοῦ λιγνίτου εἰς ἄγονα ὄλικά.
5. Τὸ πάχος τῆς λιγνιτοφόρου στιβάδος κυμαίνεται ἀπὸ 49,32 μ. ἕως 102,43 μ., ἐνῷ τὸ πάχος τοῦ διαπιστωθέντος λιγνίτου κυμαίνεται ἀπὸ 12,53 μ. ἕως 38,91 μ. τοῦ μέσου πάχους ἀνερχομένου εἰς 19,17 μ. Τὸ μέσον πάχος, τῶν ὑπεροχειμένων ἀγόνων ὄλικῶν ἀνέρχεται εἰς 10,91 μ., τῶν ἐνδιαμέσων ἀγόνων εἰς 47,94 μ. Ἡ μέση σχέσις ἀγόνων πρὸς λιγνίτην κατ' ὅγκον ἀνέρχεται εἰς 2,90 : 1.
6. Ἡ ὑφὴ τοῦ λιγνίτου εἶναι λεπτοστρωματώδης, στρωματώδης, ἀστρωτος, γαιώδης καὶ σαπροπηλοειδής.
7. Συχνά, κατὰ τὴν ἐκτέλεσιν γεωτρήσεων, συνηντήθη ἐλειογενὲς ἀέριον, συνιστάμενον ἐκ CO₂, Μεθανίου, Ἀζώτου καὶ ὑδρογονανθράκων μεγαλυτέρου μοριακοῦ βάρους.
8. Ἐκ τῆς ἀναλύσεως 1069 δειγμάτων λιγνίτου τοῦ πεδίου Μαραθούσης προέκυψεν, ὅτι ἡ ὑγρασία τοῦ λιγνίτου «ῶς ἐλήφθη» κυμαίνεται μεταξὺ 45,6 %, καὶ 72 %, τῆς μέσης τιμῆς ταύτης ἀνερχομένης εἰς 60,3 %. Ὁ μεγαλύτερος ἀριθμὸς δειγμάτων παρουσίασεν ὑγρασίαν «ῶς ἐλήφθη» κυμαίνομένην περὶ τὸ 60 %.
9. Ἡ τέφρα ἐπὶ ξηροῦ τοῦ θεωρηθέντος ὡς ἀποληψύμου λιγνίτου, κυμαίνεται μεταξὺ 18,4 %, καὶ 60 %, τῆς μέσης τιμῆς ταύτης ἀνερχομένης εἰς 36,70 %.
10. Τὰ βέβαια ἀποθέματα τοῦ πεδίου «Μαραθούσα» ἀνέρχονται εἰς $61 \cdot 10^6$ κ. μ. ἢ $67 \cdot 10^6$ τόννους.
11. Ὁ ὄγκος τῶν ἔξιορυσσομένων ἀγόνων ὄλικῶν ἀνέρχεται εἰς $177 \cdot 10^6$ κ. μ.
12. Διὰ τοῦ διαπιστωθέντος λιγνιτικοῦ πεδίου «Μαραθούσης» συνεδέθησαν τά, πρότερον μελετηθέντα, λιγνιτικὰ πεδία «Χωρεμίου» καὶ «Κυπαρισσίων».

ΒΙΒΛΙΟΓΡΑΦΙΑ

- FRANCIS, W. (1961).— Boiler House and Powers Station Chemistry p. 106.
- GOERGEN, H. (1968).— Rahmenplanung für den übertägigen Abbau der heizwertarmen Braunkohle des Reviers Megalopolis (Griechenland) *Fördern und Heben*, H. 11, pp. 1 - 8.
- GOLD, O. (1962).— Das neu entdeckte griechische Braunkohlen Vorkommen von Megalopolis, *Braunk. Wärm. Energ.*, **14**, pp. 169 - 180.
- ΚΙΣΚΥΡΑ, Δ. (1961).— Οι λιγνίτες Μεγαλοπόλεως, *Πελοπ. Πρωτ. σελ.* 124 - 130.
- LÖHNEHRT, E. (1964) Die Makropetrographische Bearbeitung des Lignits von Megalopolis (Peloponnes) als Grundlage für seine Gewinnung und Verwertbarkeit, *Fortschr. Geol. Rheinld. Westf.*, **12**, pp. 607 - 620.
- LÖHNEHRT, E. (1964).— Petrographische Ausbildung und Brenneigenschaften des Lignits von Megalopolis (Griechenland), *Braunk. Wärm. Energ.* h. 12, pp. 513 - 517.
- LÖHNEHRT, E., NOWAK, H. (1965).— Die Braunkohlenlagerstätte von Khoremi im Becken von Megalopolis (Peloponnes), *Geol. Jb.*, **82**, pp. 847 - 868.
- LÜTTIG, G. (1962).— Italienisches und Griechisches Pliopleistozän, *Zeitschr. Denksch. Geolog. Ges.*, **114**, 1, pp. 7 - 31.
- LÜTTIG, G. (1968).— Stand und Möglichkeiten der Braunkohlen Projection in der Turkei, *Geol. Jb.* **85**, pp. 585 - 604.
- LÜTTIG, G., MARINOS, G. (1962).— Zur Geologie der neuen Griechischen Braunkohlen-Lagerstätte von Megalopolis, *Braunk. Wärm. Energ.* **14**, pp. 222 - 231.
- ΜΑΡΙΝΟΥ, Γ., ΑΝΑΣΤΟΠΟΥΛΟΥ, Ι., ΠΑΠΑΝΙΚΟΛΑΟΥ, Ν. ἐν συνεργασίᾳ μετὰ Ν. ΜΕΛΙΔΩΝΗ (1959).— Η λιγνιτοφόρος λεκάνη Μεγαλοπόλεως, Ι.Γ.Ε.Υ. Γεωλ. Γεωφ. Μελ. **V**, No 3, σ. 1 - 51.
- ΜΕΛΙΔΩΝΗ, Ν., ΟΡΦΑΝΟΥ, Γ., ΚΟΥΝΗ, Θ. (1969).— Μεγαλόπολις. Ή έρευνα τοῦ λιγνιτικοῦ κοιτάσματος Κυπαρισσίων, Ι.Γ.Ε.Υ., Γεωλ. Αναγνωρίσεις No 46, **1, 2, 3, 4**.
- VINKEN, R. (1965).— Stratigraphie und Tektonik des Beckens von Megalopolis (Peloponnes, Griechenland), *Geol. Jb.*, **83**, pp. 97 - 148.